



## سنگنگاری، کانی شیمی و ژئوشیمی اتولیت‌ها و زینولیت‌های هورنبلندیتی گدازه‌های قلیایی شمال غرب مرند (شمال غرب ایران)

علی اکبر خضرلو<sup>\*</sup>، نصیر عامل<sup>۱</sup>، محسن مؤید<sup>۱</sup>، احمد جهانگیری<sup>۱</sup>، میشل گری گوایر<sup>۲</sup>

۱- گروه زمین‌شناسی، دانشکده علوم طبیعی، دانشگاه تبریز، تبریز، ایران

۲- آزمایشگاه تولوز، دانشگاه تولوز، تولوز، فرانسه

(دریافت مقاله: ۹۵/۹/۲۸، نسخه نهایی: ۹۵/۱۲/۱)

چکیده: سنگ‌های آتشفشاری قلیایی شمال‌غرب مرند با سن پلیو-کواترنر در شمالی‌ترین بخش منطقه آتشفشاری ارومیه-دختر قرار دارند. آنها غنی شدگی مشخصی در LILE و REE و تهی شدگی در HFSE (همانند Ta و Nb) نشان می‌دهند و همچنین دارای نسبت‌های بالای Ba/Ta و Ba/Nb هستند که از ویژگی‌های مناطق فرورانش است. بیشتر اتولیت‌ها و زینولیت‌های هورنبلندیتی دیده شده در این مجموعه در بخش فوران‌های تراکی آندزیتی و تراکی آندزیت بازالتی قرار دارند. این اتولیت‌ها و زینولیت‌ها بافت انباشتی نشان می‌دهند و از لحاظ مقدار کانی پلازیوکلاز به دو گروه تقسیم می‌شوند. در گروه نخست مقدار پلازیوکلاز کمتر از ۱۰ درصد است و آمفیبول و بیوتیت کانی‌های اصلی هستند. با در نظر گرفتن مقادیر عناصر سازگار نیکل و کروم، شکل روند REE و ترکیب عناصر اصلی کانی‌ها، احتمال داده می‌شود که ترکیب ماقمای تشکیل دهنده گروه ۱ (اتولیت‌های هورنبلندیتی) با سنگ‌های آتشفشاری میزان یکسان باشند. در گروه ۲ مقدار پلازیوکلاز بیشتر از ۲۰ درصد است و آمفیبول، پلازیوکلاز و بیوتیت کانی‌های اصلی هستند. با در نظر گرفتن ترکیب عناصر اصلی کانی‌ها، مقدار و شکل روند REE و مقادیر عناصر ناسازگار، احتمال داده می‌شود، خاستگاه ماقمای گروه ۲ (زینولیت‌های هورنبلندیتی) گوشه‌های دگرنهاده، با غنی شدگی کمتر نسبت به گروه ۱ باشد.

واژه‌های کلیدی: تراکی آندزیت؛ اتولیت؛ زینولیت؛ هورنبلندیت؛ شمال غرب مرند.

زنولیت‌های غنی از هورنبلند از مناطق مختلف جهان همانند شبه جزیره ایرین [۱]، غرب و مرکز اروپا [۲-۴] و بخش مرکزی اسپانیا [۵] نیز گزارش شده است. اغلب زینولیت‌های هورنبلندیتی که از سراسر جهان گزارش شده‌اند مربوط به سنگ‌های آتشفشاری میزان هستند [۶] و برخی از آنها نیز قطعات کنده شده از گوشه‌های دگرنهاده و یا سنگ انباشت‌های گدازه‌های قدیمی هستند [۷-۹]. در منطقه مورد مطالعه سنگ‌های آتشفشاری از نظر سنگ‌شناسی بررسی شده‌اند [۱۰، ۱۱] ولی در ارتباط با زینولیت‌ها اطلاعات دقیقی در دست نیست. بررسی سنگ‌های غنی از هورنبلند موجود در سنگ‌های

### مقدمه

منطقه مورد بررسی در شمال غرب مرند و در شمالی‌ترین بخش منطقه آتشفشاری ارومیه-دختر قرار دارد و دارای سنگ‌های آتشفشاری قلیایی با سن پلیو-کواترنر هستند. سنگ‌های قلیایی این منطقه دارای زینولیت‌های مختلفی هستند که فراوان‌ترین کانی در این زینولیت‌ها است که می‌تواند در گستره وسیعی از مقادیر فشار و دما ظاهر شود و از سازندگان عادی سنگ‌های آذرین و دگرگونی محسوب می‌شود. این کانی یکی از مناسب‌ترین کانی‌ها برای دما-فشار سنجدی محسوب می‌شود.

(HR ICP-MS) تعیین شد. در حدود ۱۰۰ میلی‌گرم از نمونه‌های پودر شده در داخل ظروف شیشه‌ای تفلون با  $\text{HNO}_3$  (14.4N) و  $\text{HCl}$  (3N) حل شدند و باقی مانده‌های خشک در  $\text{HNO}_3$  (14.4N) و سپس در  $\text{HCl}$  (3N) حل شدند. مقداری از محلول در  $\text{HNO}_3$  (0.3N) رقیق شد. استانداردهای BCR2 و BEN به عنوان کنترل خارجی و استاندارد ۲ به عنوان کنترل داخلی مورد استفاده قرار گرفتند. دقت اندازه‌گیری ابزار مورد استفاده ۰.۵٪ برای همه عناصر است.

### زمین شناسی عمومی

در شمال آذربایجان فعالیت‌های آتشفشاری وسیعی در دوره ترشیری صورت گرفته است. این فعالیت‌ها در زمان ائوسن و میوسن پسین-پلیوسن از شدت بیشتری برخوردار بوده است. ترکیب گدازه‌ها نیز از گستره گستردگی از ماقماهای آهکی-قلیایی با ترکیب میانه تا اسیدی و قلیایی با ماهیت پتاسی و سدیمی بالا در تغییراند. در زنجیره غرب مرند و دامنه شمالی کوه‌های میشو و در شمال گسل تبریز، فعالیت‌های آتشفشاری با نفوذ توده‌های کم عمق با ترکیب آندزیت، داسیت و ریوداسیت در اوخر میوسن با ویژگی‌های زمین‌شیمی آداسیتی شروع شده [۱۲] و با خروج گدازه‌های قلیایی پتاسی تا شوшونیتی در زمان پلیوسن و کواترنری ادامه یافته است [۱۳]. دایک‌های لامپروفیری در منطقه مورد بررسی و در نزدیکی آن وجود دارند که در منطقه سرخه تعیین سن مطلق شده‌اند و سن میوسن پایانی (۱۱-۹ میلیون سال) دارند [۱۴] و لذا از سنگ‌های آتشفشاری منطقه قدیمی تر هستند. نهشته‌های آتشفشاری و آتشفشار آواری پلیو-کواترنر شمال غرب مرند (شکل ۱) در نقشه‌های زمین‌شناسی ۱:۲۵۰۰۰ تبریز-پلدشت و ۱:۱۰۰۰۰ مرند و جلفا به ائوسن نسبت داده شده‌اند [۱۵]. بررسی‌های صحرائی نشان می‌دهد که در نزدیکی روستاهای زال و پیراحرق و نیز منطقه قخلار مرند، مجموعه‌های آتشفشاری-آتشفشار آواری روی طبقات آواری سازند قمز بالایی (U.R.F) به سن میوسن قرار گرفته‌اند (شکل ۲ الف) و لذا سنی جوانتر از میوسن دارند و به نظر می‌رسد که مربوط به پلیو-کواترنر باشند. سنگ‌های پلیو-کواترنر شمال غرب مرند شامل لویسیت بازانیت، لویسیت تفریت، بازانیت، تفریت، تراکی آندزیت، تراکی آندزیت بازالتی، آندزیت و آندزیت بازالتی است.

آتشفشاری می‌تواند اطلاعات مهمتری در ارتباط با خاستگاه آنها ارائه دهد. لذا در این پژوهش سعی شده است تا سنگ‌نگاری و شیمی کانی‌های سنگ‌های غنی از هورنبلند و سنگ‌های آتشفشاری در برگیرنده آنها بررسی شده و دما و فشار تشکیل کانی‌های این سنگ‌ها محاسبه شود. همچنین ویژگی‌های زمین‌شیمی و سنگ‌زایی سنگ‌های غنی از هورنبلند شمال غرب مرند از طریق بررسی عناصر اصلی و کمیاب آنها تحلیل می‌شود.

### روش مطالعه

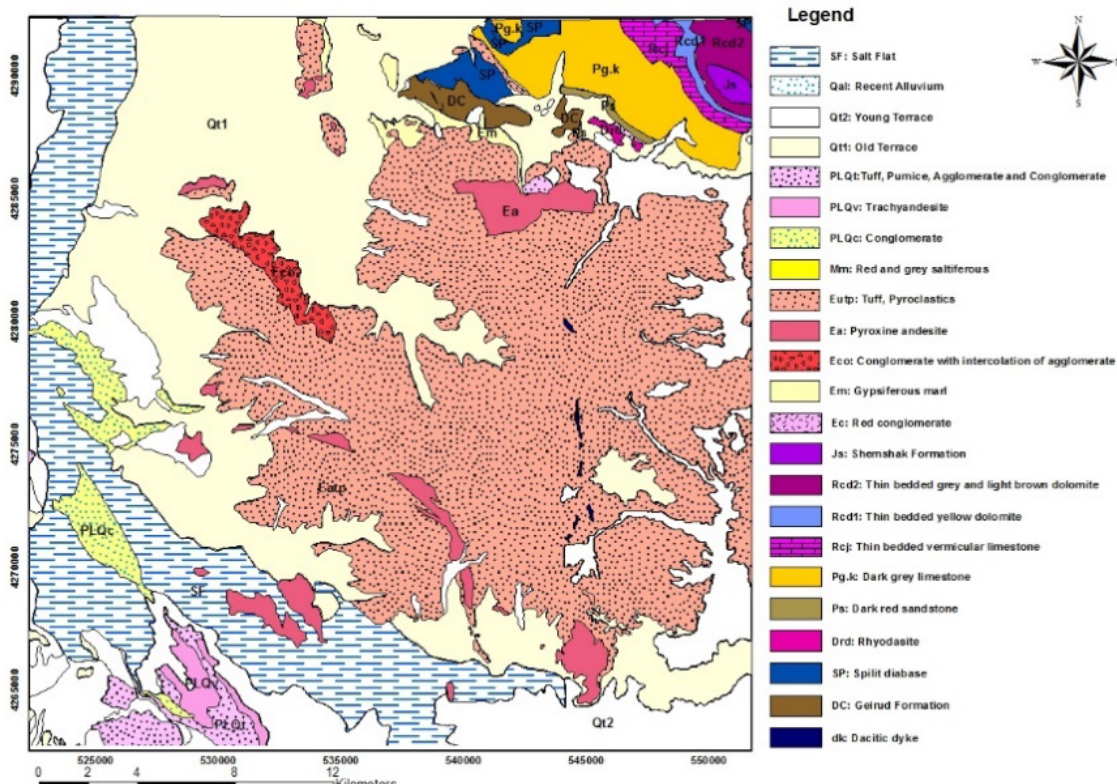
پس از بررسی‌های مقدماتی، حدود ۳۰ نمونه سنگ‌های غنی از هورنبلند از میان سنگ‌های آتشفشاری انتخاب و مقاطع نازک آنها در کارگاه سنگ‌بری دانشگاه تبریز تهیه شد. پس از بررسی مقاطع نازک و انتخاب نمونه‌های مناسب به منظور بررسی ترکیب شیمیائی کانی‌ها، ۳ نمونه از آنها به عنوان نمونه‌های معرف جهت انجام بررسی‌های نقطه‌ای به آزمایشگاه دانشگاه Cameca تولوز فرانسه ارسال شد. برای این منظور از دستگاه SX5 با پرتوالکترونی متتمرکز با ولتاژ شتابدهنده ۱۵ KV با شدت جریان ۲۰ nA و مساحت  $2 \times 2 \mu\text{m}^2$  استفاده شد.

تعداد ۶ نمونه از سنگ‌های غنی از هورنبلند و ۶ نمونه از سنگ‌های آتشفشاری میزبان جهت انجام بررسی‌های XRF و ICP-MS انتخاب شدند. این نمونه‌ها توسط سنگ‌شکن و سپس آسیاب در حد ۲۰۰ مش در آزمایشگاه دانشگاه تولوز فرانسه خرد شدند. عناصر اصلی به روش طیف‌سنجی گسیل اتمی پلاسمای جفت شده القایی (ICP AES<sup>1</sup>) در آزمایشگاه دانشگاه تولوز فرانسه بررسی شدند. نمونه‌های پودر شده در داخل ظروف شیشه‌ای تفلون با  $\text{HNO}_3$  (32N) و  $\text{HF}$  (14.4N) و باقی مانده‌های خشک نیز در محلول  $\text{H}_3\text{BO}_3$  حل شدند. استانداردهای WSE و ACE بین‌المللی به عنوان کنترل داخلی و خارجی مورد استفاده قرار گرفتند. دقت اندازه‌گیری ابزار مورد استفاده معمولاً ۰.۱٪ برای  $\text{SiO}_2$  و  $\text{TiO}_2$ ، ۰.۲٪ برای  $\text{Al}_2\text{O}_3$  و  $\text{Fe}_2\text{O}_3$  و ۰.۴٪ درصد برای دیگر اکسیدهای اصلی بوده است.

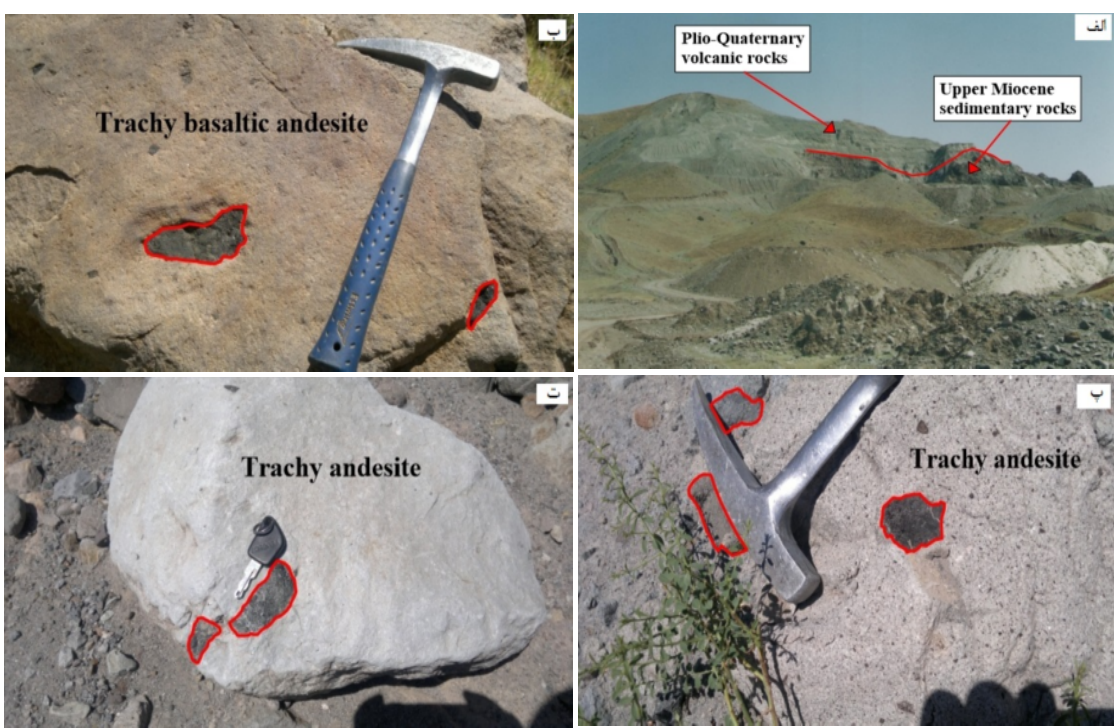
تمرکز عناصر کمیاب با استفاده از روش طیف‌سنجی جرمی پلاسمای جفت شده القایی با قدرت تفکیک بالا

در نمونه‌های دستی نیز قابل تشخیص‌اند. در بررسی راستای جوان‌شده‌ی سنگ‌های منطقه، تراکی‌آندزیت‌های بازالتی پیش از تراکی‌آندزیت‌ها قرار گرفته‌اند و این نشانگر تقدم فوران آنها نسبت به تراکی‌آندزیت‌ها است. توف‌هایی با ترکیب حدواسط در بیشتر نواحی، در نزدیکی تراکی‌آندزیت‌ها دیده می‌شوند [۱۰]. زینولیت‌ها در این مجموعه بیشتر در بخش فوران‌های تراکی‌آندزیتی و تراکی‌آندرتی بازالتی دیده می‌شوند. این زینولیت‌ها شامل کلینوپیروکسنیت، هورنبلنديت، گابرو، هورنفلس و لامپروفیر هستند. زینولیت‌های کلینوپیروکسنیتی با رنگ کاملاً تیره و بافت دانه درشت مشخص می‌شوند. زینولیت‌های گابروئی به رنگ خاکستری، لامپروفیرها به رنگ خاکستری تیره تا سیاه برآق و هورنفلس‌ها به رنگ تیره و ریز بلور دیده می‌شوند. زینولیت‌های هورنبلنديتی از فراوانی بیشتری نسبت به سایر زینولیت‌ها برخوردار هستند و در اندازه‌های ۲ تا ۱۲ سانتی‌متر به شکل بیضوی، کروی، تیغه‌ای و به رنگ خاکستری تیره و سبز تیره دیده می‌شوند (شکل ۲ ب، پ و ت).

سنگ‌های قلیایی-پتاسی و فراپتاسی بیشتر در اطراف روستای گله بان و قمیش آقل ظاهر شده‌اند. حجم این سنگ‌ها در منطقه قخلار کمتر است و در بررسی راستای جوان‌شده‌ی (در منطقه قخلار)، این سنگ‌ها پیش از سنگ‌های حدواسط دیده می‌شوند و این نشان می‌دهد که آنها پیشتر از سنگ‌های حدواسط فوران کرده‌اند. رنگ این سنگ‌ها خاکستری مایل به سیاه است و در نمونه‌های دستی بلورهای درشت و فراوان لویسیت و کلینوپیروکسن کاملاً مشخص‌اند. گذارهای اشباع از سیلیس از جزیره اسلامی به سن ۸ تا ۱۱ میلیون سال گزارش شده‌اند که به میوسن بالایی تعلق دارند [۱۶] و قدیمی‌تر از سنگ‌های آتشفشاری منطقه هستند. تراکی‌آندزیت‌ها از انواع سنگ‌های فراوان منطقه هستند که در بخش شمال منطقه و همچنین در جنوب و شمال جاده عبوری خوی-مرند قرار دارند. تراکی‌آندزیت‌ها در برخی نواحی از جمله منطقه قخلار همراه با تراکی‌آندزیت‌های بازالتی دیده می‌شوند. رنگ این سنگ‌ها در نمونه‌های دستی خاکستری تا خاکستری روشن است (شکل ۲ ب، پ و ت). بیشتر این سنگ‌ها دانه‌ریز هستند ولی در برخی نمونه‌ها فنوکریست‌های پلاژیوکلاز و پیروکسن



شکل ۱ نقشه زمین‌شناسی منطقه مورد بررسی (ساده شده از نقشه‌های ۱/۱۰۰۰۰۰ چهارگوش مرند، جلفا، قره ضیاء‌الدین و تسوج) [۱۵].



شکل ۲ (الف) بروند سنگ‌های آتشفشاری پلیو-کواترنری و رسوبات میوسن پسین در منطقه قخلار، ب، پ و ت) تصاویر هوربندیت‌های موجود در سنگ‌های آتشفشاری منطقه.

تراکی آندزیت‌ها موجود نیست (شکل ۳ ب) اما در خمیره تراکی آندزیت‌های بازالتی ظاهر می‌شود (شکل ۳ الف). فنوکریست‌های شکل‌دار میکا و آمفیبول در حدود ۵ تا ۸ درصد مقاطع را تشکیل می‌دهند و در اندازه‌های ۰/۵ تا ۱ میلی متر در زمینه سنگ دیده می‌شوند. برخی از میکاها و آمفیبول‌ها دارای کناره سوخته‌اند (شکل ۳ ب). زمینه سنگ از کانی‌های پلازیوکلاز، سانیدین، اپک و شیشه تشکیل شده است.

سنگ‌های غنی از هوربند موجود در سنگ‌های آتشفشاری این سنگ‌ها براساس مقدار کانی پلازیوکلاز به دو گروه تقسیم می‌شوند. در گروه نخست مقدار پلازیوکلاز کمتر از ۱۰ درصد و در گروه دوم بیش از ۲۰ درصد است. گروه نخست بافت ادکومولا نشان می‌دهند و کانی‌های اصلی آنها شامل آمفیبول (۱۵ تا ۲۰ درصد) و بیوتیت (۱۵ تا ۲۰ درصد) است که به عنوان فازهای انباشتی حضور دارند (شکل ۳ ب، ت و ج). فراوان ترین کانی در این نمونه‌ها، آمفیبول‌های نیمه شکل‌دار و شکل‌دار هستند که در اندازه‌های مختلف (۱۱ تا ۴ میلی متر) و با چندرنگی قهوه‌ای قابل مشاهده‌اند و سمتگیری مشخصی نشان نمی‌دهند. بیوتیتها در این گروه نیمه شکل‌دار و شکل‌دار هستند و در اندازه‌های ۰/۵ تا ۳ میلی متر حضور دارند. برخی از نمونه‌ها بافت خال نشان می‌دهند، به طوری که در

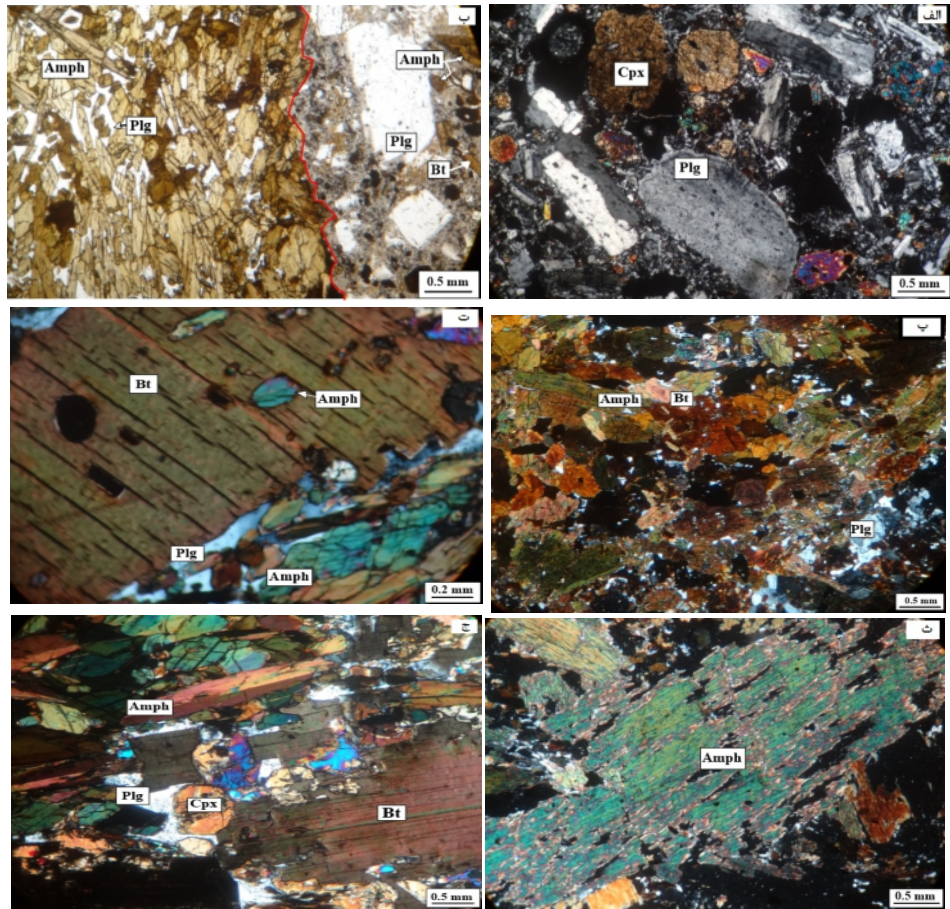
### سنگ‌نگاری سنگ‌های آتشفشاری میزان

بیشتر زینولیت‌ها در منطقه مورد بررسی درون سنگ‌های تراکی آندزیتی قرار دارند و مقدار کمی از آنها را نیز می‌توان در درون سنگ‌های تراکی آندزیت بازالتی مشاهده کرد. کانی‌های اصلی این سنگ‌های آتشفشاری پلازیوکلاز و کلینوپیروکسن هستند و کانی‌هایی از قبیل بیوتیت، آمفیبول، اپک، فلدرسپار پتاسیم‌دار و آپاتیت، کانی‌های فرعی این سنگ‌ها محسوب می‌شوند. بافت این سنگ‌ها پورفیری و ریزلولورپورفیری است (شکل ۳ الف و ب). مقدار پلازیوکلاز در سنگ‌های تراکی آندزیتی (۴۰ تا ۴۵) بیشتر از سنگ‌های تراکی آندزیت بازالتی (۴۰ تا ۴۵) است. پلازیوکلازهای شکل‌دار تا نیمه شکل‌دار به صورت ریزلولورهایی کوچک در زمینه تا بلورهای بزرگ‌تر از ۳ میلی متر نیز دیده می‌شوند و بیشتر آنها دارای منطقه‌بندی هستند.

برخی از فنوکریست‌های پلازیوکلاز دارای بافت غربالی‌اند (شکل ۳ الف و ب). کلینوپیروکسن‌های شکل‌دار و نیمه شکل‌دار در اندازه‌های ۰/۵ تا ۳ میلی متر و به مقدار کم و به صورت فنوکریست در تراکی آندزیت‌ها (۸ تا ۱۰ درصد) وجود دارد اما در تراکی آندزیت‌های بازالتی مقدار کلینوپیروکسن فنوکریست قابل توجه است (۱۵ تا ۱۸ درصد) و در هر حال مقدار آن از فنوکریست‌های پلازیوکلاز کمتر است. کلینوپیروکسن در خمیره

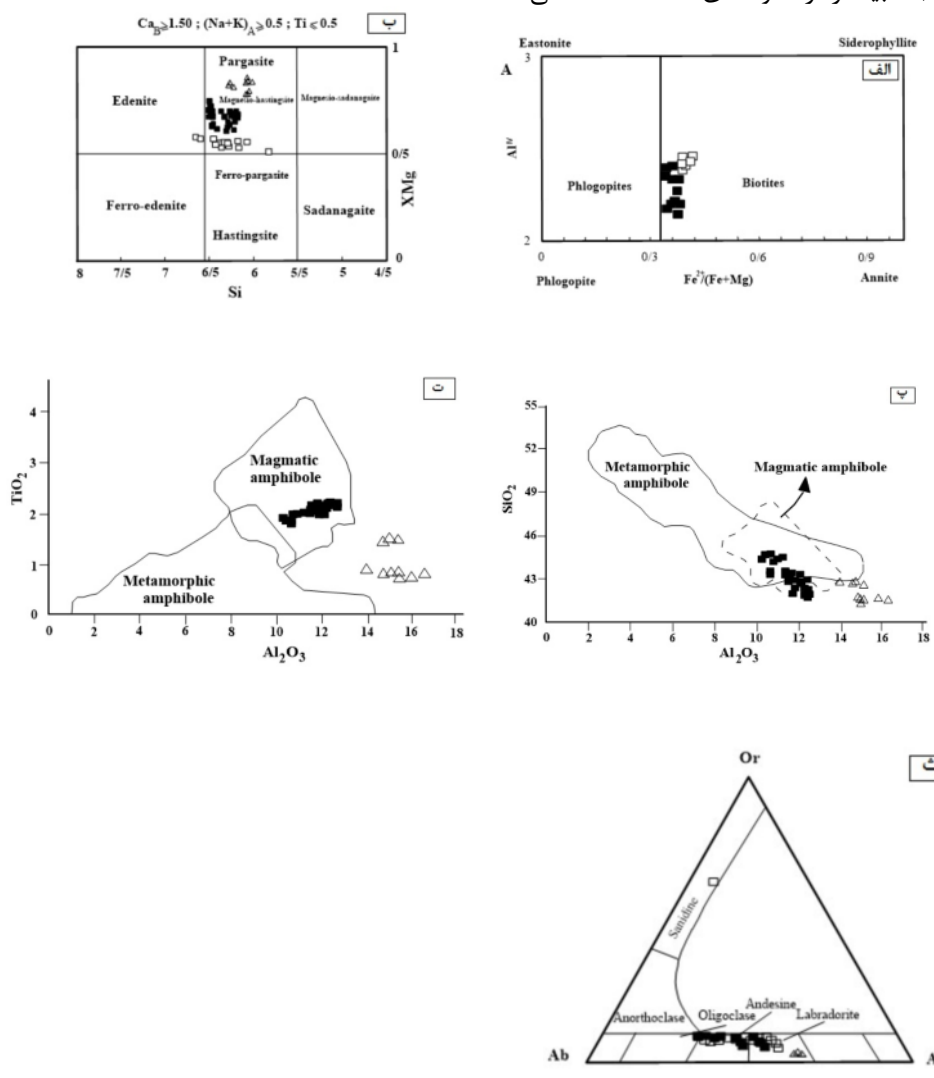
در این گروه نیز همانند گروه نخست، کانی‌های آمفیبول و بیوپیت به عنوان فازهای انباشتی و پلازیوکلاز به عنوان فاز بین انباشتی حضور دارند. آمفیبول‌های نیمه شبکه‌دار در اندازه‌های مختلف (۰/۲ تا ۵/۵ میلی متر) حضور دارند و سمتگیری مشخصی نشان نمی‌دهند (شکل ۳ پ و ث). مقدار بیوپیت در این گروه کمتر از گروه نخست است و بیشتر نیمه شبکه‌دار هستند و در اندازه‌های ۰/۵ تا ۳ میلی متر دیده می‌شوند (شکل ۳ پ). پلازیوکلازهای بی‌شبکه در اندازه‌های ۰/۲ تا ۱ میلی متر حضور دارند و در فضای بین کانی‌های دیگر قابل مشاهده‌اند. کانی‌های اپک و آپاتیت به عنوان کانی‌های فرعی در این نمونه‌ها حضور دارند و اندازه آنها کوچک‌تر از ۱ میلی متر است. مقدار کانی‌های اپک و آپاتیت در این گروه کمتر از گروه نخست است.

داخل کانی‌های بیوپیت، کانی‌های کوچک آمفیبول و اپک به صورت میانبار دیده می‌شوند (شکل ۳ ت)، و این نشان می‌دهد که این کانی‌ها قبل از بیوپیت‌ها شروع به تبلور کرده‌اند. پلازیوکلازها (۷ تا ۹ درصد)، بیشتر بی‌شبکه هستند و به عنوان فاز بین‌انباشتی در فضای بین کانی‌ها دیده می‌شوند. اندازه آنها (کوچک‌تر از ۱ میلی متر) از کانی‌های آمفیبول و بیوپیت کوچک‌تر است. کانی‌های پیروکسن (کلینوپیروکسن)، اپک و آپاتیت به مقدار کمتر در این نمونه‌ها حضور دارند (شکل ۳ ج) و بیشتر نیمه شبکه‌دار بوده و اندازه آنها کوچک‌تر از ۱ میلی متر است. گروه دوم بافت ارتوکومولا نشان می‌دهند و کانی‌های اصلی آنها شامل آمفیبول (۵/۵ تا ۶۰ درصد)، پلازیوکلاز (۲۰ تا ۲۵ درصد) و بیوپیت (۱۰ تا ۱۲ درصد) است (شکل ۳ ت و ث).



شکل ۳ تصاویر سنگنگاری نمونه‌های مورد بررسی. تمامی تصاویر به جز مورد ب به حالت XPL گرفته شده‌اند. (الف) بافت پورفیری و فنوکریست‌های کلینوپیروکسن (Cpx) و پلازیوکلاز (Plg) در تراکی آندزیت بازالی. (ب) بافت پورفیری و فنوکریست‌های بیوپیت (Bt)، پلازیوکلاز و آمفیبول (Amph) در تراکی آندزیت و بافت انباشتی و کانی‌های پلازیوکلاز و آمفیبول در گروه نخست. (ت) کانی‌های کوچک آمفیبول و اپک درون کانی بیوپیت (بافت خال خال) در نمونه گروه نخست. (ج) سنگ‌های گروه نخست با بافت انباشتی و کانی‌های آمفیبول، کلینوپیروکسن، بیوپیت (به عنوان فازهای انباشتی) و پلازیوکلاز (به عنوان فاز بین‌انباشتی). (پ و ث) سنگ‌های گروه دوم با بافت انباشتی و کانی‌های آمفیبول، بیوپیت (به عنوان فازهای انباشتی) و پلازیوکلاز (به عنوان فاز بین‌انباشتی).

میزبان (۰,۶۱ تا ۰,۶) است [۱۷]. در سنگ‌های آتشفسنائی میزبان مقادیر  $\text{Al}_2\text{O}_3$ ,  $\text{CaO}$ ,  $\text{MgO}$ ,  $\text{SiO}_2$  و  $\text{MnO}$ ,  $\text{Na}_2\text{O}$ ,  $\text{TiO}_2$ ,  $\text{FeO(t)}$ ,  $\text{K}_2\text{O}$  کمی بیشتر از نمونه‌های گروه ۱ است (جدول ۱). نتایج بررسی‌ها نشان می‌دهد که اختلاف زیادی در ترکیب عناصر اصلی میکاهای سنگ‌های آتشفسنائی میزبان و نمونه‌های گروه ۱ وجود ندارد. میکاهای مورد بررسی دارای مقادیر  $\text{Al}^{IV}$  کمتری هستند که این از ویژگی‌های میکاهای ماقمایی است [۱۸]. بیشتر میکاهای گروه ۱ بیش از ۵ درصد آب و مواد فرار دارند که به نظر می‌رسد این کانی‌ها کمی تجزیه شده باشند.



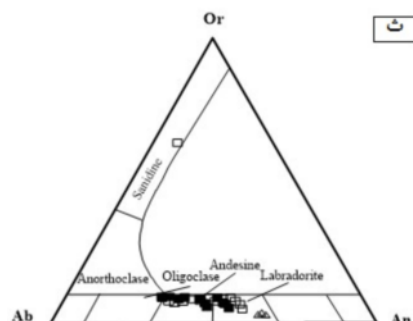
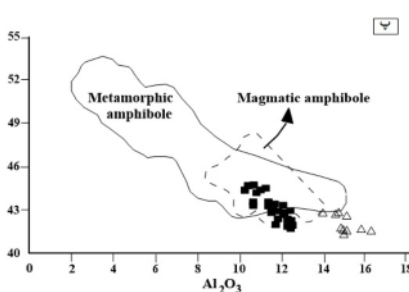
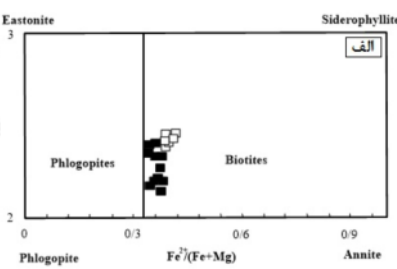
شکل ۴ الف- موقعیت میکاهای موجود در اتوپیت‌های هورنبلنديتی (گروه ۱) و سنگ‌های آتشفسنائی منطقه در نمودار نسبت کاتیونی  $\text{Fe}^{2+}/(\text{Fe}+\text{Mg})$  بر حسب  $\text{Al}^{IV}$  [۱۷]. ب-موقعیت آمفیبولهای موجود در اتوپیت‌ها (گروه ۱) و زینولیت‌های هورنبلنديتی (گروه ۲) و سنگ‌های آتشفسنائی در نمودار نسبت کاتیونی  $(\text{Mg}+\text{Fe}^{2+})/\text{Al}^{IV}$  بر حسب  $\text{Si}/\text{Mg}$  [۲۰]. پ و ت-نمودارهای متمایز کننده خاستگاه آمفیبولهای اتوپیت (گروه ۱) و زینولیت‌های هورنبلنديتی (گروه ۲). ج-موقعیت فلدسپارهای موجود در اتوپیت‌ها (گروه ۱) و زینولیت‌های هورنبلنديتی (گروه ۲) و سنگ‌های آتشفسنائی در نمودار سه وجهی Or-Ab-An. (اتوپیت‌های هورنبلنديتی (گروه ۱) با نماد مرربع توپر و زینولیت‌های هورنبلنديتی (گروه ۲) با نماد مثلث و سنگ‌های آتشفسنائی میزبان با نماد مرربع توخالی مشخص شده‌اند).

### شیمی کانی‌ها

به منظور شناخت ترکیب شیمیایی کانی‌ها و سنجش دما-فشار، بیش از ۸۵ تجزیه ریزپردازشی نقطه‌ای از کانی‌های سه نمونه (دو نمونه از گروه ۱ و یک نمونه از گروه ۲)، به عمل آمده است که در ادامه به تشریح آن می‌پردازم.

### میکا

چنانکه در شکل ۴، الف دیده می‌شود ترکیب میکاهای در نمونه‌های گروه ۱ و سنگ‌های آتشفسنائی میزبان، بیوتیتی است و مقدار عدد منیزیومی ( $\text{Mg}/\text{Mg}+\text{Fe}^{2+}$ ) آنها در نمونه‌های گروه ۱ (۰,۶۲ تا ۰,۶۶) بیشتر از نمونه‌های سنگ آتشفسنائی



جدول ۱ نتایج بررسی نقطه‌ای میکاهای موجود در اتولیت‌های هورنبلندیتی و سنگ‌های آتشفشانی میزبان منطقه.

سنگ	گروه ۱								سنگ‌های آتشفشانی میزبان					
	نمونه	k-6	k-6	k-6	k-6	k-6	k-6	k	k	k-6	k-6	k	k	k
SiO <sub>2</sub>	۳۷,۴۷	۳۷,۵۳	۳۸,۸۴	۳۸,۳۴	۳۸,۶۹	۳۸,۴۲	۳۸,۵۵	۳۷,۱۶	۳۷,۲۲	۳۶,۴۴	۳۶,۳۹	۳۶,۹۶	۳۷,۱	
TiO <sub>2</sub>	۳۵	۴,۱۷	۳,۸۸	۴,۲۵	۴,۰۷	۳,۱	۳,۱۹	۳,۸۵	۳,۷۶	۵,۰۴	۵,۲۲	۴,۴۵	۴,۵۹	
Al <sub>2</sub> O <sub>3</sub>	۱۴,۲۹	۱۴,۱۷	۱۴,۹۶	۱۳,۸۲	۱۴,۲۷	۱۳,۹	۱۴,۶۷	۱۴,۹۱	۱۴,۴۶	۱۲,۶۲	۱۳,۷۸	۱۳,۵۶	۱۳,۹۵	
Cr <sub>2</sub> O <sub>3</sub>	•	۰,۰۱	۰,۰۲	۰,۰۱	۰,۰۱	۰,۰۴	۰,۰۲	۰,۰۲	۰,۰۱	•	•	۰,۰۱	۰,۰۱	
FeO(t)	۱۴,۵۳	۱۴,۶۸	۱۲,۹۷	۱۴,۰۸	۱۲,۹۷	۱۴,۸	۱۴,۰۵	۱۳,۸۷	۱۳,۷۱	۱۵,۶۲	۱۶,۱۷	۱۵,۹	۱۶,۲	
MnO	۰,۱۶	۰,۱۷	۰,۱	۰,۱۴	۰,۱۵	۰,۱۴	۰,۱۶	۰,۰۹	۰,۱۳	۰,۲۵	۰,۲۴	۰,۲۷	۰,۲۷	
MgO	۱۴,۶۴	۱۴,۵	۱۳,۸	۱۴,۰۳	۱۴,۲۳	۱۳,۷۷	۱۳,۲	۱۴,۸۴	۱۴,۸۷	۱۲,۸۹	۱۳,۴۸	۱۳,۸۸	۱۳,۷۱	
CaO	۰,۰۶	۰,۱۷	۰,۲۷	۰,۱۷	۰,۱۵	۰,۱۹	۰,۳۴	۰,۰۸	۰,۰۶	۰,۰۷	۰,۰۴	•	•	
Na <sub>2</sub> O	۰,۳۵	۰,۳	۰,۱	۰,۳۱	۰,۳	۰,۳	۰,۲۳	۰,۴۲	۰,۳۶	۰,۶۲	۰,۵۹	۰,۶۲	۰,۶۵	
K <sub>2</sub> O	۸,۸۷	۸,۲۵	۷,۷۲	۸,۴۶	۸,۲۷	۸,۵۸	۸,۱۶	۸,۵۵	۸,۳	۹,۳۱	۹,۲۷	۸,۸۸	۸,۹۱	
Total	۹۳,۸۷	۹۳,۹۵	۹۲,۶۶	۹۳,۶۱	۹۴,۱۱	۹۳,۲۴	۹۲,۵۷	۹۳,۷۹	۹۲,۸۸	۹۴,۸۶	۹۴,۱۹	۹۴,۴۹	۹۵,۳۹	

کاتیون‌ها بر اساس اکسیژن محاسبه شده‌اند.

Si	۵,۶۵	۵,۶۵	۵,۸۲	۵,۷۷	۵,۷۷	۵,۷۷	۵,۸۴	۵,۵۹	۵,۶۴	۵,۵۲	۵,۵۱	۵,۶	۵,۵۸
Al	۲,۳۴	۲,۳۵	۲,۱۸	۲,۲۳	۲,۲۳	۲,۲۳	۲,۱۶	۲,۴۱	۲,۲۶	۲,۴۳	۲,۴۶	۲,۴	۲,۴۲
Al	۰,۲	۰,۱۶	۰,۴۶	۰,۲۲	۰,۲۸	۰,۲۳	۰,۴۶	۰,۲۳	۰,۲۲	•	•	۰,۰۳	۰,۰۵
Ti	۰,۴	۰,۴۷	۰,۴۴	۰,۴۸	۰,۴۶	۰,۴۵	۰,۳۶	۰,۴۴	۰,۴۳	۰,۵۷	۰,۵۹	۰,۵۱	۰,۵۲
Fe <sup>+2</sup>	۱,۸۳	۱,۸۵	۱,۶۲	۱,۷۷	۱,۷۳	۱,۸۶	۱,۷۸	۱,۷۴	۱,۷۴	۱,۹۸	۲,۰۵	۲,۰۲	۲,۰۴
Mn	۰,۰۲	۰,۰۲	۰,۰۱	۰,۰۲	۰,۰۲	۰,۰۲	۰,۰۲	۰,۰۱	۰,۰۲	۰,۰۳	۰,۰۳	۰,۰۳	۰,۰۳
Mg	۳,۳	۳,۲۵	۳,۰۸	۳,۱۵	۳,۱۶	۳,۰۸	۲,۹۸	۳,۳۳	۳,۳۶	۳,۱۴	۳,۰۴	۳,۱۴	۳,۰۷
Ca	۰,۰۱	۰,۰۳	۰,۰۴	۰,۰۳	۰,۰۲	۰,۰۳	۰,۰۵	۰,۰۱	۰,۰۱	۰,۰۱	•	•	•
Na	۰,۱	۰,۰۹	۰,۰۵	۰,۰۹	۰,۰۹	۰,۰۹	۰,۰۷	۰,۱۲	۰,۱۱	۰,۱۸	۰,۱۷	۰,۱۸	۰,۱۹
K	۱,۷۱	۱,۵۸	۱,۴۷	۱,۶۲	۱,۵۷	۱,۶۴	۱,۵۸	۱,۶۴	۱,۶	۱,۸	۱,۷۹	۱,۷۲	۱,۷۱
Total	۱۵,۵۶	۱۵,۴۵	۱۵,۱۷	۱۵,۳۸	۱۵,۳۳	۱۵,۴	۱۵,۳	۱۵,۵۲	۱۵,۴۹	۱۵,۶۶	۱۵,۶۴	۱۵,۶۳	۱۵,۶۱
#mg	۰,۶۴	۰,۶۴	۰,۶۵	۰,۶۴	۰,۶۵	۰,۶۲	۰,۶۳	۰,۶۶	۰,۶۶	۰,۶۱	۰,۶	۰,۶۱	۰,۶

کاهش یافته‌اند. این امر موجب افزایش SiO<sub>2</sub> و کاهش Al<sub>2</sub>O<sub>3</sub> در برخی از آمفیبول‌ها و قرارگیری آنها در ناحیه همپوشی گستره‌های ماقمایی و دگرگونی آمفیبول شده است. نمونه‌های گروه ۱ و ۲ دارای مقدار آهن (Fe<sup>2+</sup>) و منیزیم بالا هستند و مقدار عدد منیزیومی (Mg/Mg+Fe<sup>2+</sup>) آمفیبول‌های آنها به ترتیب از ۰,۶۳ تا ۰,۷۳ و از ۰,۷۴ تا ۰,۸۵ تغییر می‌کنند (جدول ۲). آمفیبول‌ها در گروه ۱ در مقایسه با گروه ۲ دارای مقادیر FeO(t), TiO<sub>2</sub>, SiO<sub>2</sub> و CaO بیشتر و مقادیر MgO, K<sub>2</sub>O, Na<sub>2</sub>O و Cr<sub>2</sub>O<sub>3</sub> کمتری هستند (جدول ۲). آمفیبول‌ها در سنگ‌های آتشفشانی میزبان، ترکیب منزیو-هاستنگریت دارند (شکل ۴ ب) و مقدار عدد منیزیومی آنها از ۰,۴۵ تا ۰,۵۶ تغییر می‌کند (جدول ۲). مقایسه نتایج بررسی آمفیبول‌های گروه ۱ و سنگ‌های آتشفشانی میزبان نشان می‌دهد که اختلاف چندانی در ترکیب آنها وجود ندارد (جدول ۲).

## آمفیبول

بنابر رده‌بندی آمفیبول‌ها [۱۹]، آمفیبول‌ها در نمونه‌های گروه ۱ و ۲، از نوع کلسیمی ( $BCa/B(Ca+Na) \geq 0.75$ ) هستند. ترکیب آمفیبول‌ها در نمونه‌های گروه ۱ منزیو-هاستنگریت و در گروه ۲ پارگازیت هستند (شکل ۴ ب) [۲۰]. در نمودار متمایز کننده آمفیبول‌ها [۲۱]، آمفیبول‌های گروه ۱ در گستره‌ی ماقمایی یا منطقه همپوشی گستره‌های ماقمایی و دگرگونی و گروه ۲ در نزدیک گستره‌ی ماقمایی قرار گرفته‌اند (شکل ۴ پ و ت). به نظر می‌رسد که قرارگیری برخی از آمفیبول‌های گروه ۱ در ناحیه همپوشی گستره‌های ماقمایی و دگرگونی آمفیبول، مربوط به جانشینی Si به جای Al در جایگاه چاروجهی (جاگاه T) است. به طوری که با ادامه روند تبلور، در ماقمایی باقیمانده غلظت Si افزایش یافته و برخی از آنها جانشین Al کانی‌های آمفیبول شده‌اند. چنانکه در جدول ۲ دیده می‌شود مقادیر Al(IV) آمفیبول‌ها با افزایش Si

جدول ۲ نتایج بررسی نقطه‌ای آمفیبولهای موجود در اتوپیت‌ها و زینولیت‌های هورنبلندیتی و سنگ‌های آتشفسانی میزبان منطقه.

سنگ	گروه ۱												
	k	k	k	k	k	k	k	k	k	k	k	k	
SiO <sub>2</sub>	۴۳,۲۸	۴۴,۲۶	۴۲,۵۲	۴۴,۷	۴۴,۲	۴۴,۳۷	۴۲,۲۹	۴۳,۵۲	۴۱,۷۷	۴۳,۲۶	۴۳,۲۱	۴۴,۵۵	۴۳,۳۱
TiO <sub>2</sub>	۲,۰۶	۲,۰۱	۲,۱۳	۱,۹۸	۱,۹۹	۱,۹۲	۲,۱۲	۱,۸۲	۱,۹۷	۱,۸۶	۲,۱۵	۱,۹۲	۲,۰۷
Al <sub>2</sub> O <sub>3</sub>	۱۱,۵۱	۱۱	۱۲,۲۸	۱۰,۷۴	۱۰,۸۴	۱۰,۲۸	۱۱,۹۳	۱۰,۶۸	۱۱,۸۵	۱۰,۶۷	۱۱,۷۵	۱۱,۲۶	۱۱,۷۸
Cr <sub>2</sub> O <sub>3</sub>	۰,۰۲	۰,۰۳	۰,۰۲	۰,۰۲	۰	۰,۰۷	۰,۰۱	۰,۰۱	۰,۰۴	۰,۰۳	۰,۰۲	۰,۰۱	۰
FeO(t)	۱۱,۲۷	۱۰,۹	۱۲,۲۲	۱۰,۷۸	۱۰,۰۵	۱۰,۶۶	۱۲,۵۶	۱۲,۲۷	۱۳,۱۱	۱۱,۵۸	۱۲,۷۲	۱۱,۰۵	۱۱,۸۲
MnO	۰,۱۷	۰,۱۴	۰,۲	۰,۱۳	۰,۱۲	۰,۱۴	۰,۲۱	۰,۱۳	۰,۲۲	۰,۲۱	۰,۲۳	۰,۱۷	۰,۱۳
MgO	۱۳,۵۷	۱۲,۹۴	۱۲,۶۴	۱۴,۱۸	۱۲,۱۳	۱۴,۴۲	۱۲,۶۸	۱۲	۱۳,۲۲	۱۲,۴۸	۱۳,۷	۱۳,۴	
CaO	۱۱,۷۸	۱۱,۷۳	۱۱,۶۴	۱۱,۷۶	۱۱,۷۶	۱۱,۷۶	۱۱,۸۱	۱۱,۴۷	۱۱,۶۹	۱۱,۷۶	۱۱,۶۷	۱۱,۵۴	۱۱,۷۶
Na <sub>2</sub> O	۲,۱۱	۲,۱۹	۲,۲۶	۲,۰۸	۲,۲	۲,۱۷	۲,۲۵	۱,۹۹	۲,۱۷	۲,۰۷	۲,۲	۲,۱۹	۲,۲۳
K <sub>2</sub> O	۰,۰۲	۰,۹۱	۱,۱	۰,۹۵	۰,۹۷	۰,۹۲	۱,۱	۱,۰۸	۱,۰۸	۰,۹۵	۱,۰۵	۰,۸۹	۰,۹۵
Total	۹۶,۷۹	۹۷,۲۱	۹۷,۰۱	۹۷,۳۲	۹۷,۳۴	۹۶,۷۱	۹۶,۷۳	۹۵,۶۵	۹۵,۹	۹۵,۷۱	۹۷,۴۸	۹۷,۲۸	۹۷,۴۵

کاتیون‌ها بر اساس اکسیژن محاسبه شده‌اند.

سنگ	گروه ۲													
	Si	۶,۴	۶,۵۱	۶,۳۱	۶,۵۴	۶,۵۲	۶,۵۶	۶,۳۳	۶,۵۴	۶,۳۱	۶,۵	۶,۴۱	۶,۵۴	۶,۲۸
Ti	-۰,۲۳	-۰,۲۲	-۰,۲۴	-۰,۲۲	-۰,۲۲	-۰,۲۱	-۰,۲۴	-۰,۲۱	-۰,۲۲	-۰,۲۱	-۰,۲۴	-۰,۲۱	-۰,۲۳	
Al(IV)	۱,۶	۱,۴۹	۱,۶۹	۱,۴۶	۱,۴۸	۱,۴۴	۱,۶۷	۱,۴۶	۱,۶۹	۱,۵	۱,۵۹	۱,۴۶	۱,۶۲	
Al(VI)	-۰,۴۱	-۰,۴۱	-۰,۴۶	-۰,۳۹	-۰,۴	-۰,۳۵	-۰,۴۳	-۰,۴۳	-۰,۴۲	-۰,۳۸	-۰,۴۷	-۰,۴۹	-۰,۴۲	
Cr	-	-	-	-	-	-	-	-	-	-	-	-	-	
Fe <sup>+3</sup>	-۰,۱	-۰,۰۷	-۰,۰۹	-۰,۰۸	-۰,۰۵	-۰,۱۵	-۰,۲۳	-۰,۰۷	-۰,۰۸	-۰,۰۷	-۰,۱۴	-۰,۱۴	-۰,۲۶	
Fe <sup>+2</sup>	۱,۳	۱,۲۷	۱,۴۳	۱,۲۴	۱,۴۴	۱,۱۷	۱,۳۴	۱,۴۸	۱,۵۷	۱,۳۹	۱,۴۴	۱,۲۲	۱,۲	
Mn	-۰,۰۲	-۰,۰۲	-۰,۰۳	-۰,۰۲	-۰,۰۳	-۰,۰۲	-۰,۰۳	-۰,۰۲	-۰,۰۳	-۰,۰۳	-۰,۰۳	-۰,۰۲	-۰,۰۲	
Mg	۲,۹۹	۳,۰۵	۲,۳	۳,۰۹	۲,۸۹	۳,۱۸	۲,۷۸	۲,۸۴	۲,۷۱	۲,۹۵	۲,۷۶	۳	۲,۹۴	
Ca	۱,۸۷	۱,۸۴	۱,۸۵	۱,۸۴	۱,۸۶	۱,۸۶	۱,۸۹	۱,۸۵	۱,۸۹	۱,۸۶	۱,۸۲	۱,۸۶	۱,۸۶	
Na	-۰,۶۱	-۰,۶۲	-۰,۶۵	-۰,۵۹	-۰,۶۳	-۰,۶۲	-۰,۶۵	-۰,۵۸	-۰,۶۴	-۰,۶	-۰,۶۳	-۰,۶۲	-۰,۶۴	
K	-۰,۱۹	-۰,۱۷	-۰,۲۱	-۰,۱۸	-۰,۱۸	-۰	-۰,۲۱	-۰,۲۱	-۰,۱۸	-	-	-	-	
Total	۱۵,۷۲	۱۵,۷۸	۱۵,۲۶	۱۵,۶۵	۱۵,۷	۱۵,۵۷	۱۵,۵۹	۱۵,۶۹	۱۵,۷۷	۱۵,۷	۱۵,۵۷	۱۵,۵۲	۱۵,۵۷	
#mg	-۰,۷	-۰,۷۱	-۰,۶۶	-۰,۷۱	-۰,۶۷	-۰,۷۳	-۰,۶۷	-۰,۶۶	-۰,۶۳	-۰,۶۸	-۰,۶۶	-۰,۷۱	-۰,۷۱	
T(°C)	۷۷۰	۷۵۹	۷۸۵	۷۵۳	۷۵۷	۷۴۷	۷۸۰	۷۵۷	۷۸۱	۷۵۷	۷۷۵	۷۶۴	۷۷۴	
P(Kbar)	۴,۵۶	۴,۱۲	۵,۱۷	۳,۹۱	۴,۰۵	۳,۶۵	۴,۹۸	۴,۰۷	۴,۰۱	۴,۰۵	۴,۷۸	۴,۳۲	۴,۷۳	

ادامه جدول ۲

سنگ	گروه ۲												
	k	k-6	k-28										
SiO <sub>2</sub>	۴۲,۳۲	۴۴,۷۳	۴۲,۷۴	۴۲,۶۳	۴۲,۱۱	۴۲	۴۲,۰۸	۴۲,۰۸	۴۲,۰۳	۴۲,۹۸	۴۲,۲	۴۲,۴۹	۴۱,۴۲
TiO <sub>2</sub>	۲,۱۴	۱,۸۴	۲,۱۳	۲,۱۶	۲,۲۴	۲,۲۶	۲,۱۸	۲,۱۹	۲,۲۲	۲,۲۷	۱,۸۹	۲,۰۵	۰,۸۳
Al <sub>2</sub> O <sub>3</sub>	۱۲,۶۱	۱۰,۴۳	۱۲,۲۶	۱۲,۲۶	۱۲,۵۶	۱۲,۵۷	۱۲,۳۹	۱۱,۸۵	۱۱,۸۴	۱۱,۸	۱۱,۳۲	۱۱,۳۸	۱۵,۸۵
Cr <sub>2</sub> O <sub>3</sub>	-۰,۰۲	-	-۰,۰۲	-	-	-۰,۰۱	-۰,۰۲	-	-۰,۰۲	-۰,۰۱	-	-۰,۰۵	
FeO(t)	۱۲,۹۸	۱۲,۵۱	۱۲,۹۸	۱۲,۷۱	۱۲,۷۴	۱۲,۸۷	۱۳,۳۶	۱۲,۲۹	۱۳,۲	۱۳,۱۵	۱۲,۷۱	۱۲,۷۳	۱۱,۵۴
MnO	-۰,۱۷	-۰,۲۳	-۰,۲	-۰,۱	-۰,۱۵	-۰,۱	-۰,۲	-۰,۱۱	-۰,۱۴	-۰,۱۶	-۰,۲۴	-۰,۱۹	-۰,۲۲
MgO	۱۲,۲۲	۱۲,۲۳	۱۲,۸۱	۱۲,۷۱	۱۲,۵۳	۱۲,۶۳	۱۲,۴	۱۳,۰۲	۱۲,۵	۱۲,۵۴	۱۲,۸۵	۱۲,۰۲	۱۲,۶۴
CaO	۱۱,۵۷	۱۱,۹۵	۱۲,۰۸	۱۱,۷۸	۱۱,۸۱	۱۱,۹۸	۱۱,۹۹	۱۲	۱۱,۸۸	۱۱,۹۷	۱۱,۸۹	۱۲,۰۳	۱۰,۵۱
Na <sub>2</sub> O	۲,۲۲	۲,۰۵	۲,۲۲	۲,۱۷	۲,۲۴	۲,۲۳	۲,۲	۲,۱۵	۲,۱۹	۲,۲۱	۲,۱۷	۲,۱۶	۳
K <sub>2</sub> O	-۰,۹۹	۱,۰۹	۱,۱	۱,۱۳	۱,۱۶	۱,۲۴	۱,۱۶	۱,۱۱	۱,۰۷	۱,۱۲	۱,۳۵	۱,۰۸	۰,۲
Total	۹۷,۲۴	۹۸,۱۶	۹۸,۶۴	۹۷,۶۵	۹۷,۵۴	۹۸,۸۴	۹۸	۹۷,۶	۹۷,۸۹	۹۸,۲	۹۸,۱۱	۹۸,۱۱	۹۶,۲۷

کاتیون‌ها بر اساس اکسیژن محاسبه شده‌اند.

سنگ	گروه ۲													
	Si	۶,۲۸	۶,۵۶	۶,۲۷	۶,۳	۶,۲۴	۶,۲۲	۶,۳۳	۶,۳۶	۶,۲۶	۶,۲۴	۶,۳۹	۶,۴	۶,۱
Ti	-۰,۲۴	-۰,۲	-۰,۲۴	-۰,۲۴	-۰,۲۵	-۰,۲۵	-۰,۲۴	-۰,۲۴	-۰,۲۵	-۰,۲۵	-۰,۲۵	-۰,۲۱	-۰,۲۳	-۰,۰۹
Al(IV)	۱,۷۲	۱,۴۵	۱,۳۷	۱,۷	۱,۷۶	۱,۷۸	۱,۷۷	۱,۶۴	۱,۶۴	۱,۶۶	۱,۶۱	۱,۶	۱,۹	
Al(VI)	-۰,۴۹	-۰,۳۶	-۰,۳۹	-۰,۴۳	-۰,۴۱	-۰,۳۹	-۰,۳۹	-۰,۳۹	-۰,۳۹	-۰,۳۹	-۰,۳۷	-۰,۳۷	-۰,۱۵	
Cr	-	-	-	-	-	-	-	-	-	-	-	-	-۰,۰۱	
Fe <sup>+3</sup>	-۰,۲۸	-۰,۰۷	-۰,۱	-۰,۱۱	-۰,۱	-۰,۰۹	-۰,۱۱	-۰,۰۷	-۰,۰۸	-۰,۰۷	-۰,۰۹	-۰,۰۸	-۰,۳۱	
Fe <sup>+2</sup>	۱,۳۳	۱,۴۷	۱,۱	۱,۴۶	۱,۴۷	۱,۵	۱,۰۵	۱,۴۵	۱,۵۵	۱,۰۵	۱,۰۵	۱,۰۵	۱,۴۸	۱,۱۱
Mn	-۰,۰۲	-۰,۰۳	-۰,۰۲	-۰,۰۱	-۰,۰۲	-۰,۰۱	-۰,۰۳	-۰,۰۱	-۰,۰۲	-۰,۰۲	-۰,۰۳	-۰,۰۲	-۰,۰۳	
Mg	۲,۷	۲,۹۱	۲,۸	۲,۸	۲,۷۷	۲,۷۹	۲,۷۴	۲,۸۷	۲,۷۵	۲,۷۶	۲,۸۳	۲,۸۶	۲,۷۷	
Ca	۱,۸۴	۱,۸۸	۱,۹	۱,۸۷	۱,۸۷	۱,۹	۱,۹	۱,۹	۱,۸۸	۱,۸۹	۱,۸۸	۱,۹	۱,۶۶	
Na	-۰,۶۴	-۰,۵۸	-۰,۶۶	-۰,۶۲	-۰,۶۴	-۰,۶۴	-۰,۶۴	-۰,۶۴	-۰,۶۳	-۰,۶۳	-۰,۶۲	-۰,۶۱	-۰,۸۵	
K	-	-۰,۲	-۰,۲۱	-۰,۲۱	-۰,۲۲	-۰,۲۳	-۰,۲۲	-۰,۲۱	-۰,۲	-۰,۲۱	-۰,۲۵	-۰,۲	-۰,۰۴	
Total	۱۵,۵۴	۱۵,۷۱	۱۵,۸۲	۱۵,۷۵	۱۵,۷۷	۱۵,۸۲	۱۵,۸۲							

ادامه جدول ۲

سنگ	گروه										سنگ‌های آتشفشاری میزان			
	k-28	k	k	k	k									
نمونه														
SiO <sub>2</sub>	۴۱,۴۷	۴۰,۹۴	۴۰,۹	۴۱,۶۸	۴۱,۲۵	۴۲,۲۹	۴۲,۳۹	۴۲,۸	۴۲,۷۸	۴۲,۱۸	۴۴,۸۷	۴۴,۱۶	۴۹,۰۷	
TiO <sub>2</sub>	۰,۸۴	۰,۹۱	۱,۵۷	۱,۳۷	۱,۳۶	۰,۹۶	۰,۹۱	۰,۹۳	۰,۹۵	۲,۱	۱,۵۲	۱,۶۲	۲,۰۶	
Al <sub>2</sub> O <sub>3</sub>	۱۶,۰۳	۱۶,۶۱	۱۵,۲۵	۱۴,۹۲	۱۵,۱۲	۱۴,۳	۱۵,۰۳	۱۴,۹۵	۱۵,۵۴	۱۰,۳۱	۸,۴۸	۸,۹۹	۱۲,۹۱	
Cr <sub>2</sub> O <sub>3</sub>	۰,۰۵	۰,۰۴	۰,۰۸	۰,۰۸	۰,۰۸	۰,۰۹	۰,۰۸	۰,۰۸	۰,۰۸	۰,۱	۰,۰۱	۰,۰۱	۰,۰۲	۰,۱۲
FeO(t)	۱۱,۴۱	۱۱,۵۷	۱۱,۹۶	۱۱,۷۲	۱۱,۷۱	۱۱,۲۲	۱۰,۵۳	۱۱,۱۴	۱۱,۳۷	۱۷,۸۳	۱۶,۸۱	۱۷,۱۹	۱۶,۱۷	
MnO	۰,۱۷	۰,۱۵	۰,۱۶	۰,۱۳	۰,۱۲	۰,۱۳	۰,۱۱	۰,۲۱	۰,۲۲	۰,۶۱	۰,۵۲	۰,۶۲	۰,۳۴	
MgO	۱۲,۶۴	۱۲,۲۵	۱۲,۴۳	۱۲,۶۴	۱۲,۴۲	۱۲,۱۱	۱۲,۷	۱۲,۱	۱۲,۸۸	۹,۸۸	۱۱,۱۳	۱۰,۸۱	۹,۸۱	
CaO	۱,۰۶	۱,۰۱	۱,۱۲	۱,۱۳	۱,۱۲	۱,۰۶	۱,۰۶	۱,۱۴	۱,۰۶	۱۱,۰	۱۱,۱	۱۱,۱۳	۱۱,۲۲	
Na <sub>2</sub> O	۳,۰۲	۲,۹	۲,۸۱	۲,۹۸	۲,۹۲	۲,۸۹	۲,۹	۲,۸۹	۳,۰۷	۲,۱	۱,۹۸	۲,۰۸	۲,۱۹	
K <sub>2</sub> O	۰,۲۴	۰,۳۱	۰,۳۶	۰,۳۲	۰,۵۷	۰,۲۲	۰,۲۶	۰,۲۷	۰,۲۴	۱,۰۷	۱,۰۷	۱,۲۱	۱,۶۳	
Total	۹۶,۴۳	۹۶,۴۹	۹۶,۷۲	۹۷,۰۷	۹۶,۷۶	۹۶,۸۲	۹۶,۵۳	۹۷,۷۹	۹۷,۶۱	۹۷,۶۴	۹۷,۴۹	۹۷,۸۳	۹۵,۴۲	
کاتیون‌ها بر اساس اکسیژن محاسبه شده‌اند.														
Si	۶,۰۹	۶,۰۲	۶,۰۵	۶,۱۴	۶,۱	۶,۳۲	۶,۳۴	۶,۲۱	۶,۲	۶,۳۱	۶,۷۴	۶,۶۴	۶,۰۶	
Ti	۰,۰۹	۰,۱	۰,۱۸	۰,۱۵	۰,۱۵	۰,۱۱	۰,۱	۰,۱	۰,۱	۰,۲۴	۰,۱۷	۰,۱۸	۰,۲۴	
Al(IV)	۱,۹۱	۱,۹۸	۱,۹۵	۱,۸۷	۱,۹	۱,۶۸	۱,۶۶	۱,۷۹	۱,۸	۱,۶۹	۱,۲۶	۱,۳۶	۱,۹۴	
Al(VI)	۰,۸۷	۰,۹	۰,۷۱	۰,۷۲	۰,۷۴	۰,۷۸	۰,۹۲	۰,۷۷	۰,۸۶	۰,۱۳	۰,۲۴	۰,۲۳	۰,۴۳	
Cr	۰,۰۱	۰,۰۱	۰,۰۱	۰,۰۱	۰,۰۱	۰,۰۱	۰,۰۱	۰,۰۱	۰,۰۱	۰	۰	۰	۰	
Fe <sup>+3</sup>	۰,۲۹	۰,۲۸	۰,۲۵	۰,۲	۰,۲۱	۰,۲۵	۰,۱۸	۰,۱۸	۰,۲۳	۰,۲۸	۰,۱۵	۰,۱۶	۰,۱۵	
Fe <sup>+2</sup>	۱,۱۲	۱,۱۴	۱,۲۳	۱,۲۴	۱,۲۴	۱,۱۲	۱,۱۱	۱,۱۷	۱,۱۵	۲,۲۳	۱,۹۶	۲	۱,۹۵	
Mn	۰,۰۲	۰,۰۲	۰,۰۲	۰,۰۱	۰,۰۲	۰,۰۲	۰,۰۱	۰,۰۳	۰,۰۳	۰,۰۸	۰,۰۷	۰,۰۸	۰,۰۵	
Mg	۲,۷۷	۲,۷۱	۲,۷۴	۲,۷۷	۲,۷۴	۲,۸۶	۲,۷۷	۲,۸۴	۲,۷۶	۲۲۱	۲۴۹	۲۴۲	۲۲۷	
Ca	۱,۶۶	۱,۶۹	۱,۷۷	۱,۷۷	۱,۷۸	۱,۶۶	۱,۶۶	۱,۷۸	۱,۶۶	۱,۷۷	۱,۷۹	۱,۷۹	۱,۸۷	
Na	۰,۸۶	۰,۸۳	۰,۸۱	۰,۸۵	۰,۸۴	۰,۸۲	۰,۸۲	۰,۸۱	۰,۸۶	۰,۵۳	۰,۶۱	۰,۶۶	۰,۶۶	
K	۰,۰۴	۰,۰۶	۰	۰	۰	۰	۰	۰,۰۵	۰,۰۴	۰,۳	۰,۲۱	۰,۲۳	۰,۲۲	
Total	۱۰,۳۲	۱۰,۷۴	۱۰,۷۲	۱۰,۷۳	۱۰,۷۳	۱۰,۶۳	۱۰,۵۸	۱۰,۷۴	۱۰,۶۸	۱۰,۸۰	۱۰,۶۶	۱۰,۷	۱۰,۹۴	
#mg	۰,۸۴	۰,۸۲	۰,۷۷	۰,۷۶	۰,۷۴	۰,۸۱	۰,۷۸	۰,۷۸	۰,۸	۰,۵	۰,۵۶	۰,۵۵	۰,۵۴	
T(°C)	۸۰۲	۸۶۳	۸۴۰	۸۳۲	۸۳۷	۸۱۹	۸۳۲	۸۲۹	۸۳۹	۷۵۰	۷۱۶	۷۴۶	۸۰۸	
P(Kbar)	۷,۸۲	۸,۲۶	۷,۲۲	۷,۰۳	۷,۲۳	۶,۴۹	۷,۰۲	۶,۹	۷,۳۱	۳,۷۸	۲,۴۳	۲,۸۱	۶,۰۷	

ادامه جدول ۲

سنگ	سنگ‌های آتشفشاری میزان								
	k	k-6							
نمونه									
SiO <sub>2</sub>	۳۷,۶۲	۴۱,۷۵	۴۲,۰۸	۴۱,۶۴	۴۱,۸۹	۴۱,۷۳	۴۰,۶۶	۴۲,۰۲	۴۹,۶
TiO <sub>2</sub>	۲,۱۹	۲,۱۵	۲,۱۴	۲,۲۲	۲,۱۷	۲,۲	۲,۲۷	۲,۰۳	۲,۸۴
Al <sub>2</sub> O <sub>3</sub>	۱۳,۲۷	۱۰,۲۸	۱۰,۱۲	۱۰,۴۸	۱۰,۲۹	۱۰,۴۹	۱۱,۰۱	۹,۹۶	۱۳,۱۴
Cr <sub>2</sub> O <sub>3</sub>	-	-	۰,۰۱	۰,۰۳	-	-	۰,۰۲	۰,۰۲	-
FeO(t)	۱۹,۷۶	۱۸,۴۶	۱۸,۰۱	۱۸,۲۶	۱۸,۱۶	۱۸,۵۹	۱۸,۸۹	۱۷,۹۵	۱۵,۸۹
MnO	۰,۵	۰,۵۲	۰,۵۹	۰,۵۱	۰,۵۱	۰,۵۳	۰,۴۹	۰,۵۵	۰,۱۹
MgO	۷,۹	۹,۶۵	۹,۶۸	۹,۶۴	۹,۷۵	۹,۶۲	۹,۱۳	۱۰,۰۴	۱۰,۰۷
CaO	۱۱,۰۸	۱۱,۱۶	۱۱,۱۵	۱۱,۰۵	۱۱,۱۷	۱۱,۲۲	۱۱,۳۵	۱۱,۲۸	۱۱,۱۲
Na <sub>2</sub> O	۲,۱۹	۱,۹۵	۲,۰۷	۱,۹۹	۲	۲,۰۳	۲,۰۱	۱,۸۸	۲,۳
K <sub>2</sub> O	۱,۶۷	۱,۶۲	۱,۶۱	۱,۷	۱,۶۷	۱,۶۲	۱,۷۸	۱,۵۵	۱,۳۵
Total	۹۶,۱۸	۹۷,۵۴	۹۷,۴۷	۹۷,۵۳	۹۷,۴۱	۹۸,۰۳	۹۷,۴۹	۹۷,۷۸	۹۷,۲
کاتیون‌ها بر اساس اکسیژن محاسبه شده‌اند.									
Si	۵,۸۹	۶,۳۷	۶,۴۲	۶,۳۵	۶,۳۷	۶,۳۵	۶,۲۵	۶,۴۵	۶,۰۳
Ti	۰,۲۶	۰,۲۵	۰,۲۵	۰,۲۶	۰,۲۵	۰,۲۵	۰,۲۷	۰,۲۳	۰,۲۳
Al(IV)	۲,۱۲	۱,۶۳	۱,۵۸	۱,۶۵	۱,۶۳	۱,۶۵	۱,۷۵	۱,۵۵	۱,۹۸
Al(VI)	۰,۳۳	۰,۲۲	۰,۲۴	۰,۲۴	۰,۲۳	۰,۲۳	۰,۲۴	۰,۲۳	۰,۳۸
Cr	-	-	-	-	-	-	-	-	-
Fe <sup>+3</sup>	۰,۳۷	۰,۱۸	۰,۱۳	۰,۱۷	۰,۱۵	۰,۱۷	۰,۱۳	۰,۱۶	۰,۰۷
Fe <sup>+2</sup>	۲,۲۱	۲,۱۸	۲,۱۷	۲,۱۶	۲,۱۷	۲,۲	۲,۲۷	۲,۱۲	۱,۹۵
Mn	۰,۰۷	۰,۰۷	۰,۰۸	۰,۰۷	۰,۰۷	۰,۰۷	۰,۰۶	۰,۰۷	۰,۰۳
Mg	۱,۸۴	۲,۲	۲,۲	۲,۱۹	۲,۲۲	۲,۱۸	۲,۰۹	۲,۲۷	۲,۲۸
Ca	۱,۸۶	۱,۸۳	۱,۸۲	۱,۸۱	۱,۸۳	۱,۸۳	۱,۸۷	۱,۸۳	۱,۹۲
Na	۰,۶۷	۰,۵۸	۰,۶۱	۰,۵۹	۰,۵۹	۰,۶	۰,۶	۰,۵۵	۰,۶۸
K	۰,۳۳	۰,۳۲	۰,۳۱	۰,۳۲	۰,۳۳	۰,۳۲	۰,۳۵	۰,۳	۰,۲۶
Total	۱۰,۹۵	۱۰,۸۳	۱۰,۸۱	۱۰,۸۲	۱۰,۸۴	۱۰,۸۵	۱۰,۸۸	۱۰,۷۶	۱۰,۹۲
#mg	۰,۴۵	۰,۰	۰,۰۵	۰,۰۵	۰,۰۱	۰,۰۵	۰,۰	۰,۰۲	۰,۰۴
T(°C)	۸۱۷	۷۵۳	۷۵۰	۷۵۷	۷۵۴	۷۵۶	۷۶۹	۷۴۶	۸۰۷
P(Kbar)	۶,۴۳	۳,۹	۳,۷۹	۴,۰۵	۳,۹۲	۴,۰۳	۴,۰۱	۳,۶۱	۶,۰۵

هورنبلند در نمونه‌های گروه ۱، گروه ۲ و سنگ‌های آتشفشاری میزبان به ترتیب  $3/65$  تا  $5/4$ ،  $6/49$  تا  $8/26$  و  $2/43$  تا  $6/43$  کیلوبار به دست آمد (جدول ۲). جهت تخمین دمای تشکیل کانی هورنبلند از فرمول  $T = 25.3P + 654.9$  استفاده شد [۲۴]. در این رابطه، دما بر حسب سانتیگراد و فشار، بر حسب کیلوبار است. دمای تشکیل کانی‌های هورنبلند در نمونه‌های گروه ۱، گروه ۲ و سنگ‌های آتشفشاری میزبان به ترتیب  $747$  درجه سانتی‌گراد برآورد شده است (جدول ۲). عمق تبلور کانی‌های هورنبلند (بر اساس فشار تشکیل) در نمونه‌های گروه ۱، گروه ۲ و سنگ‌های آتشفشاری میزبان به ترتیب  $11$  تا  $16$ ،  $20$  تا  $25$  و  $7$  تا  $19$  کیلومتر محاسبه شده است. با توجه به این که با روش‌های زمین‌فیزیک ضخامت پوسته در منطقه مورد بررسی  $40$  تا  $45$  کیلومتر محاسبه شده است [۲۵]، به نظر می‌رسد که کانی‌های نمونه‌های گروه ۱ و گروه ۲ پس از تبلور در پوسته، در مخازن ماگمایی موقت تجمع یافته‌اند. مسلماً ماگماهای تشکیل دهنده سنگ‌های آتشفشاری میزبان دارای خاستگاهی پایین‌تر از عمق  $25$  کیلومتر بوده‌اند و این نمونه‌ها را به همراه خود به سطح زمین منتقل کرده‌اند.

فلدسيات

ترکیب پلازیوکلازها براساس رده‌بندی پلازیوکلازها [۲۲] در زینولیت‌های هورنبلندیتی گروه ۱ آندزین تا لابرادوریت و در گروه ۲ لابرادوریت است (شکل ۴ ج). پلازیوکلازهای سنگ‌های آتشفشاری ترکیب آندزین تا لابرادوریت دارند و فلدسپات پتاسیم‌دار آنها ترکیب سانیدین ( $\text{Ab}_{25.04}\text{An}_{7.77}\text{Or}_{19.19}$ ) دارد (شکل ۴ ج). در برخی از فنوکریستهای پلازیوکلاز در سنگ‌های آتشفشاری میزبان منطقه‌بندی نوسانی دیده می‌شود (جدول ۳). در صورتیکه پلازیوکلازهای گروه ۱ و ۲ منطقه‌بندی مشخصی نشان نمی‌دهند.

دما - فشار سنجی

به منظور تعیین شرایط فشار تبلور هورنبلندهای مورد بررسی، از فرمول  $P = 3.97 + 4.23 \text{ Al}^t - 0.5 \text{ Kb}$  استفاده شد [۲۳]. در این روش به دلیل اینکه هسته بلور در موقع تشکیل و تبلور در تعادل با ماقمای مولد است، لذا جهت بالا بودن دقت نتایج حاصل و تعیین فشار شروع تبلور کانی که می‌تواند نشانگر عمق تقریبی تشکیل آن باشد، از ترکیب هسته کانی‌های هورنبلند استفاده شد. به این ترتیب، فشار تشکیل کانی‌های

**حدوا، ۳ نتایج ب، سر، نقطه‌ای، بلایه کلایه، موحود د، اوتولیت‌ها و بنولیت‌ها، هونبلدنتی، و سنگ‌های آتش‌شکن، میان‌منطقه.**

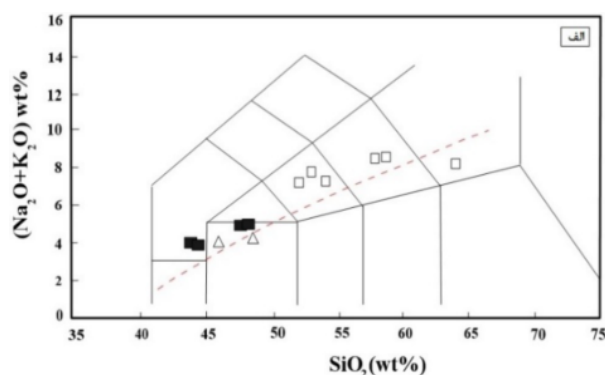
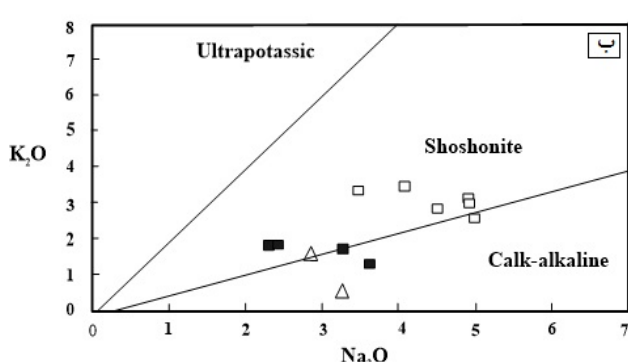
سنگ	گروه ۱												گروه ۲
	k	k	k	k	k	k	k-6	k-6	k-6	k-6	k-6	k-6	
نمونه	هسته	هسته	هسته	هسته	هسته	هسته	هسته	هسته	هسته	هسته	هسته	هسته	هسته
موقعت	هسته	هسته	هسته	هسته	هسته	هسته	هسته	هسته	هسته	هسته	هسته	هسته	هسته
SiO <sub>2</sub>	۶۲,۳۹	۶۱,۴۸	۶۰,۵۸	۶۰,۳۷	۶۰,۱۱	۵۸,۷۱	۶۲,۲۸	۶۱,۸۲	۵۹	۵۹,۳۷	۵۸,۵۱	۵۶,۷۷	۵۱,۵۱
TiO <sub>2</sub>	۰,۰۱	-	-	-	۰,۰۲	۰,۰۲	۰,۰۱	۰,۰۴	۰,۰۱	۰,۰۳	۰,۰۱	۰,۰۲	۰,۰۲
Al <sub>2</sub> O <sub>3</sub>	۲۲,۶۴	۲۳,۸۶	۲۴,۵۶	۲۴,۴۲	۲۳,۶۶	۲۶,۴۲	۲۳,۸۴	۲۴,۳۹	۲۵,۷۷	۲۴,۶۸	۲۸,۹۴	۲۵,۷۶	۳۰,۹۴
Cr <sub>2</sub> O <sub>3</sub>	۰,۰۲	-	۰,۰۲	-	-	-	-	-	-	۰,۰۱	-	۰,۰۱	۰,۰۱
FeO(t)	۰,۱۴	۰,۱۷	۰,۱۶	۰,۱۸	۰,۱۸	۰,۱۳	۰,۱۹	۰,۱۸	۰,۱۳	۰,۱۱	۰,۱۹	۰,۱۲	۰,۱۳
MnO	-	۰,۰۶	-	-	-	-	-	۰,۰۱	۰,۰۲	۰,۰۵	۰,۰۲	۰,۰۷	۰,۰۲
MgO	۰,۰۱	۰,۰۲	-	۰,۰۸	۰,۰۲	۰,۰۱	-	۰,۰۱	-	۰,۰۱	۰,۰۱	۰,۰۲	۰,۰۲
CaO	۵,۵۸	۶,۰۳	۳,۹۲	۶,۸۸	۶,۲۱	۸,۴۱	۵,۶۲	۶,۱۸	۸,۳	۷,۳۶	۷,۹۹	۹,۰۶	۱۳,۸۷
Na <sub>2</sub> O	۷,۷۷	۷,۴۳	۷,۰۷	۷,۱۷	۷,۳۹	۶,۴۵	۷,۵۲	۷,۵۴	۶,۲۵	۶,۹۲	۶,۱۱	۵,۹۹	۳,۴۴
K <sub>2</sub> O	۰,۹۸	۰,۹۱	۰,۷۶	۰,۷۳	۰,۹۶	۰,۵۴	۱,۱۲	۰,۹۴	۰,۶۷	۰,۶۹	۰,۷۵	۰,۶	۰,۰۹
Total	۱۰۰,۰۴	۹۹,۹۶	۱۰۰,۰۷	۹۹,۸۳	۹۸,۷۵	۱۰۰,۰۷	۱۰۰,۶۸	۱۰۱,۱۱	۱۰۰,۰۵	۹۹,۳۳	۹۸,۸۳	۹۸,۷۲	۱۰۰,۰۳
کاتیون‌ها بر اساس آنکسیزن محاسبه شده‌اند.													
Si	۲,۴۸	۲,۴۶	۲,۴۲	۲,۴۲	۲,۴۴	۲,۳۳	۲,۴۷	۲,۴۴	۲,۳۵	۲,۲۹	۲,۳۷	۲,۳	۲,۰۵
Al	۱,۲۵	۱,۲۷	۱,۳۱	۱,۳۱	۱,۲۸	۱,۴	۱,۲۶	۱,۲۹	۱,۳۷	۱,۳۳	۱,۳۵	۱,۳۹	۱,۶۵
Ti	-	-	-	-	-	-	-	-	-	-	-	-	-
Fe+2	۰,۰۱	۰,۰۱	۰,۰۱	۰,۰۱	۰,۰۳	۰,۰۲	۰,۰۲	۰,۰۱	۰,۰۳	۰,۰۲	۰,۰۴	۰,۰۳	۰,۰۲
Mn	-	-	-	-	-	-	-	-	-	-	-	۰,۰۱	-
Mg	-	-	-	-	-	-	-	-	-	-	-	-	-
Zn	-	-	-	-	-	-	-	۰,۰۱	۰,۰۲	-	-	-	۰,۰۱
Ca	۰,۴۴	۰,۴۸	۰,۵۵	۰,۵۵	۰,۵	۰,۶۷	۰,۴۵	۰,۴۹	۰,۶۶	۰,۵۹	۰,۶۵	۰,۷۳	۱,۱۱
Na	۱,۲۴	۱,۱۹	۱,۱۳	۱,۱۵	۱,۲	۱,۰۲	۱,۱۹	۱,۱۹	۱	۱,۱۲	۰,۹۹	۰,۹۷	۰,۵۵
K	۰,۱۶	۰,۱۵	۰,۱۲	۰,۱۲	۰,۱۶	۰,۰۹	۰,۱۸	۰,۱۵	۰,۱۱	۰,۱۱	۰,۱۲	۰,۱	۰,۰۶
Total	۵,۵۸	۵,۵۶	۵,۵۴	۵,۵۶	۵,۶۱	۵,۵۳	۵,۵۸	۵,۵۹	۵,۵۲	۵,۵۶	۵,۵۲	۵,۵۳	۵,۴۵
Or	۸,۴۸	۸,۴	۶,۷۱	۶,۴۱	۸,۲۵	۴,۸۳	۹,۶۹	۸,۱۲	۶,۰۱	۶,۱	۶,۸۸	۵,۴۲	۰,۸۸
Ab	۵۷,۳۷	۶۵,۴۴	۶۲,۶۱	۶۲,۲۵	۶۴,۵۴	۵۷,۶	۶۵,۷۴	۶۵,۱۹	۵۶,۴۸	۶۱,۳	۵۶,۳	۵۳,۸۴	۳۲,۸۳
An	۲۴,۱۶	۲۶,۰۳	۲۰,۶۸	۲۰,۲۴	۲۷,۱۲	۲۷,۵۷	۲۴,۵۷	۲۶,۶۹	۲۷,۵۱	۲۲,۶۱	۲۶,۸۳	۴۰,۷۴	۶۶,۲۹

## ادامه جدول ۳

سنگ	گروه ۲		سنگ‌های آتشفشنی میزبان											
	نمونه	k-28	k	k	k	k	k	k	k-6	k-6	k-6	k-6	k-6	k-6
موقعیت	هسته	هسته	حاشیه	میانه	هسته	میانه	حاشیه	هسته	هسته	هسته	هسته	هسته	هسته	هسته
SiO <sub>2</sub>	۵۲,۱۵	۵۱,۹	۵۸,۳۶	۶۲,۳۵	۵۸,۰۴	۵۸,۴۲	۵۵,۶۵	۵۷,۲۳	۵۹,۲۱	۵۸,۰۹	۵۶,۵۸	۶۰,۶۳	۷۱,۴۱	
TiO <sub>2</sub>	۰,۰۳	۰,۰۲	۰,۰۳	۰,۰۲	۰,۰۱	۰,۰۳	۰,۰۴	۰	۰,۰۴	۰,۰۲	۰,۰۳	۰,۰۳	۰,۱۵	
Al <sub>2</sub> O <sub>3</sub>	۲۹,۴	۳۰,۱۲	۲۶,۳۱	۲۲,۷۳	۲۵,۱۲	۲۴,۷۷	۲۶,۲۸	۲۶,۸۳	۲۵,۳	۲۵,۵۵	۲۶,۸۳	۲۲,۹۹	۱۵,۱۳	
Cr <sub>2</sub> O <sub>3</sub>	۰	۰,۰۱	۰	۰	۰	۰	۰	۰	۰	۰	۰	۰	۰,۰۱	
FeO(t)	۰,۴۶	۰,۳۸	۰,۳۲	۰,۲۴	۰,۳۸	۰,۲۳	۰,۳۸	۰,۳۴	۰,۲۹	۰,۳۴	۰,۳۶	۰,۲۲	۱,۱۸	
MnO	۰,۰۲	۰,۰۲	۰,۰۱	۰,۰۳	۰,۰۱	۰	۰,۰۴	۰,۰۲	۰,۰۷	۰,۰۲	۰	۰,۰۲	۰	
MgO	۰	۰,۰۲	۰	۰,۰۲	۰,۰۱	۰	۰,۰۱	۰	۰	۰	۰,۰۱	۰	۰,۲۱	
CaO	۱۲,۸۹	۱۳,۲۶	۸,۵۱	۵,۴۸	۷,۸	۷,۶۵	۹,۵۸	۹,۲۳	۷,۶۱	۸,۲۴	۹,۶۲	۶,۳۸	۱,۳۶	
Na <sub>2</sub> O	۳,۸۶	۳,۶۵	۶,۱۳	۷,۶۱	۶,۱۶	۶,۵۹	۵,۷۱	۵,۸۶	۶,۶۶	۶,۳۷	۵,۷۳	۷,۱	۲,۱۹	
K <sub>2</sub> O	۰,۲۵	۰,۱۳	۰,۶۸	۱,۰۴	۰,۶۳	۰,۷	۰,۳۸	۰,۵۶	۰,۷۲	۰,۷	۰,۵	۰,۹۱	۰,۸۷	
Total	۹۹,۰۶	۹۹,۵۱	۱۰۰,۳۵	۱۰۰,۰۲	۹۸,۱۶	۹۸,۳۹	۹۸,۰۷	۱۰۰,۱۷	۹۹,۹	۹۹,۸۳	۹۹,۶۵	۹۹,۲۶	۹۷,۵۳	
کاتیون‌ها بر اساس اکسیژن محاسبه شده‌اند.														
Si	۲,۱۱	۲,۰۸	۲,۳۳	۲,۴۸	۲,۳۷	۲,۳۷	۲,۲۷	۲,۲۹	۲,۳۷	۲,۳۵	۲,۲۷	۲,۴۴	۲,۹۳	
Al	۱,۵۸	۱,۶۱	۱,۴	۱,۲۶	۱,۳۶	۱,۳۴	۱,۴۳	۱,۴۳	۱,۳۵	۱,۳۶	۱,۴۴	۱,۲۹	۰,۸۳	
Ti	۰	۰	۰	۰	۰	۰	۰	۰	۰	۰	۰	۰	۰,۰۱	
Fe+3	۰,۰۴	۰,۰۳	۰,۰۳	۰,۰۲	۰,۰۳	۰,۰۲	۰,۰۳	۰,۰۳	۰,۰۲	۰,۰۳	۰,۰۲	۰,۰۲	۰,۱	
Mn	۰	۰	۰	۰	۰	۰	۰	۰	۰,۰۱	۰	۰	۰	۰	
Mg	۰	۰	۰	۰	۰	۰	۰	۰	۰	۰	۰	۰	۰,۰۲	
Zn	۰	۰	۰,۰۱	۰	۰	۰	۰	۰,۰۱	۰	۰,۰۱	۰	۰	۰	
Ca	۱,۰۴	۱,۰۷	۰,۶۸	۰,۴۴	۰,۶۴	۰,۶۲	۰,۷۸	۰,۷۴	۰,۶۱	۰,۶۶	۰,۷۷	۰,۵۱	۰,۱۱	
Na	-۰,۶۷	-۰,۵۹	-۰,۹۸	۱,۲۱	۱	۱,۷	-۰,۹۳	-۰,۹۴	۱,۰۷	۱,۰۲	-۰,۹۲	۱,۱۴	-۰,۱۶	
K	-۰,۰۴	-۰,۰۲	-۰,۱۲	-۰,۱۷	-۰,۱	-۰,۱۱	-۰,۰۶	-۰,۰۹	-۰,۱۲	-۰,۱۱	-۰,۰۸	-۰,۱۵	-۰,۹۶	
Total	۵,۴۳	۵,۴	۵,۵۵	۵,۵۸	۵,۵	۵,۵۳	۵,۵	۵,۵۳	۵,۵۵	۵,۵۴	۵,۵۱	۵,۵۵	۵,۳۲	
Or	۲,۳۵	۱,۲	۶,۱	۹,۱۱	۵,۸۶	۶,۳	۲,۵	۵,۰۳	۶,۴۱	۶,۲۲	۴,۵۶	۸,۱۵	۶۷,۱۹	
Ab	۳۶,۵	۳۵,۱	۵۵,۴۵	۶۶,۸۲	۵۷,۶۲	۵۹,۳	۴۷,۵۲	۵۳,۱۲	۵۹,۵۵	۵۶,۹۳	۵۱,۹	۶۳,۳۸	۲۵,۰۴	
An	۶۱,۱	۶۳,۶۹	۳۸,۴۵	۲۴,۰۸	۳۶,۵۲	۳۴,۴	۴۴,۰۳	۴۱,۸۴	۳۴,۰۴	۳۶,۸۵	۴۳,۵۴	۲۸,۴۷	۷,۷۷	

سنگ‌های آتشفشنی میزبان در گستره شوшуونیتی و نمونه‌های گروه ۱ و ۲ در گستره‌های شوшуونیتی و آهکی-قلیایی قرار می‌گیرند. با مقایسه مقادیر اکسیدهای عناصر اصلی، ملاحظه می‌شود که در سنگ‌های آتشفشنی مقادیر MgO، CaO<sub>2</sub> و K<sub>2</sub>O کمتر و مقادیر FeO(t) P<sub>2</sub>O<sub>5</sub> Na<sub>2</sub>O بیشتر از نمونه‌های گروه ۱ و ۲ هستند (جدول ۴).

**زمین شیمی سنگ کل**  
نتایج بررسی عناصر اصلی و کمیاب نمونه‌های گروه ۱ و ۲ و سنگ‌های آتشفشنی میزبان در جدول ۴ آورده شده است. بیشتر نمونه‌ها در شکل ۵ الف در گستره قلیایی قرار می‌گیرند. در شکل ۵ ب موقعیت نمونه‌ها براساس نسبت اکسید پتابسیم به اکسید سدیم نشان داده است [۲۶]. چنانکه دیده می‌شود،



شکل ۵ الف- نمودار  $\text{Na}_2\text{O} + \text{K}_2\text{O}$  نسبت به  $\text{SiO}_2$  و موقعیت نمونه‌های مورد بررسی در آن [۲۷]. ب- نمودار  $\text{Na}_2\text{O}$  نسبت به  $\text{K}_2\text{O}$  و موقعیت نمونه‌های مورد بررسی در آن. اتوپلیت‌های هورنبلندریتی (گروه ۱) با نماد مربع توپر و زینولیت‌های هورنبلندریتی (گروه ۲) با نماد مثلث و سنگ‌های آتشفشنی میزبان با نماد مربع توخالی مشخص شده‌اند)

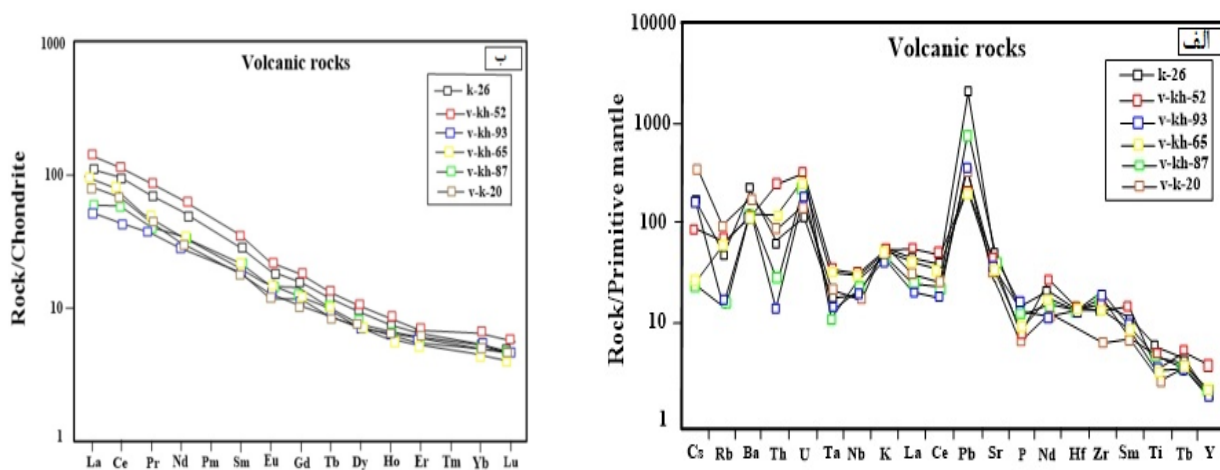
جدول ۴ نتایج تجزیه شیمیایی عناصر اصلی، کمیاب و خاکی نادر نمونه‌های اتوالیت‌ها و زینولیت‌های هورنبلندیتی و سنگ‌های آتشفشاری میزبان منطقه.

سنگ	گروه ۱				گروه ۲				سنگ‌های آتشفشاری میزبان					
	نمونه	K	K-6	K-11	Kh-52	K-28	Kh-12	V-K-26	V-K-20	V-Kh-93	V-Kh-52	Kh-87	V-Kh-65	
SiO <sub>2</sub>	۴۳,۸۶	۴۴,۲	۴۸,۲۲	۴۷,۸۶	۴۸,۸۶	۴۵,۷۷	۵۲,۱	۶۴,۸۵	۵۲,۷	۵۸,۷۴	۵۲,۰۲	۵۹,۰۵		
TiO <sub>2</sub>	۱,۸۵	۱,۸۳	۱,۶۸	۲,۲۱	۰,۸۱	۱,۴۹	۱,۳۲	۰,۶۴	۱,۱۴	۰,۸۲	۱,۱۱	۰,۸		
Al <sub>2</sub> O <sub>3</sub>	۱۲,۳۹	۱۲,۳۴	۱۶,۲۶	۱۵,۱	۱۶,۰۳	۱۵,۰	۱۶,۱۴	۱۷,۱۵	۱۷,۵۴	۱۶	۱۷,۳۶	۱۵,۷۲		
FeO(t)	۱۲,۶۲	۱۲,۲۶	۱۱,۶۶	۱۴,۳۱	۸,۹۸	۱۲	۸,۷۸	۵,۱۵	۸,۵	۸,۳۳	۸,۱۴	۵,۳۶		
MnO	۰,۱۶	۰,۱۶	۰,۲۱	۰,۲	۰,۱۶	۰,۱۶	۰,۱۱	۰,۰۵	۰,۱۹	۰,۰۹	۰,۱۶	۰,۰۹		
MgO	۱۲,۱۱	۱۱,۷۱	۷,۲۹	۵,۴۲	۸,۹	۷,۶۹	۴,۶۱	۰,۹۶	۲,۷۹	۳,۴۲	۲,۵۳	۳,۵۶		
CaO	۱۰,۴۱	۱۰,۳۳	۱۰,۲۸	۸,۴۴	۱۱,۰۸	۹,۹۷	۹,۰۳	۲,۶۹	۷,۷۳	۵,۷۸	۷,۶۸	۵,۸		
Na <sub>2</sub> O	۲,۲۵	۲,۲۸	۳,۷۳	۳,۲۴	۳,۲۳	۲,۸۷	۳,۴۷	۴,۱	۴,۹۸	۴,۹۲	۴,۵	۴,۹۷		
K <sub>2</sub> O	۱,۷۶	۱,۸۵	۱,۱۶	۱,۵۷	۰,۶۲	۱,۴	۲,۳۹	۲,۴۸	۲,۵۸	۳,۰۵	۲,۸۵	۲,۹۴		
P <sub>2</sub> O <sub>5</sub>	۰,۳	۰,۲۹	۰,۲۵	۰,۳	۰,۰۸	۰,۱۶	۰,۶۶	۰,۳۱	۰,۶۲	۰,۳۹	۰,۵۸	۰,۴		
LOI	۱,۱۲	۱,۲۱	۰,۷۸	۲,۱۵	۰,۹۶	۲,۰۶	۱,۲۷	۰,۸۲	۲,۰۶	۱,۰۵	۲,۳۳	۰,۵۴		
Total	۹۸,۸۲	۹۸,۴۸	۱۰,۱۶۱	۱۰,۰۸	۹۹,۷۱	۹۹,۰۸	۱۰,۱۵۸	۱۰,۱۱۹	۱۰,۱۳۳	۱۰,۰۰۹	۹۹,۷۷	۹۹,۷۴		
Sr	۲۸۱,۶۷	۳۰۰,۲۷	۵۶۸,۴۹	۴۳۴,۰۴	۲۶۸,۴۳	۳۱۱,۱۹	۱۱۲۹,۱۶	۶۷۳,۹۱	۸۶۷,۷۸	۱۰۰,۲۷۷	۱۲۴۷,۶۳	۱۲۱,۱۹		
Ba	۳۵۵,۷	۳۶۱,۳۱	۵۹۱,۵۲	۵۴۰,۰۴	۱۱۴,۴۳	۱۳۶,۹۸	۱۵۲,۰۹۳	۱۲۳۱	۸۷۸,۹۵	۸۳۴,۸۶	۸۷۲,۲۹	۹۰,۹,۱۳		
V	۲۸۳,۲۵	۳۷۹,۶۳	۲۹۸,۰۴	۳۰,۸,۲۴	۲۲,۱,۹	۲۶۲,۴۴	۲۲۶,۶۲	۱,۰,۹۹	۲۰,۲,۴۸	۹۷,۷۷	۱۸۴,۷۴	۹۲,۹۳		
Cr	۹۵,۱	۸۴,۲۱	۳۳,۰,۶۱	۲۷۴,۷۲	۳۷۰,۰,۳۸	۳۱,۰,۳۲	۱۶۶,۸۲	۱۱,۷۶	۵,۲۶	۱۳۵,۳۴	۲۰,۰,۰	۱۳۸		
Co	۶۲,۷۵	۶۲,۳۲	۴۲,۰,۱	۵۵,۴۹	۴۰,۰,۴۴	۵۳,۳۶	۴۶,۹۶	۲۸,۷۶	۲۷,۲	۲۷,۷	۲۶,۳۷	۳۳,۶۱		
Ni	۱۳۸,۱۴	۱۳۵,۰۴	۶۱,۱	۱۸,۰,۰۱	۱۴۱,۷۴	۹۲,۰,۵۱	۸,۰,۶۱	۷,۶۹	۸,۲۷	۶۷,۷۶	۱۶,۶۳	۶۷,۷۲		
Y	۲۶,۶۱	۲۵,۰۵	۳۹,۹۷	۲۲,۰,۰۸	۲۱,۴۲	۲۰,۰,۷۵	۲۳,۶۳	۱۳,۶۱	۳,۲۵	۱۵,۶۶	۳۴,۶۳	۱۴,۷۴		
Zr	۵۷,۲	۵۷,۲۶	۵۷,۶۵	۸۱,۱,۱۸	۲۵,۷۹	۴۷,۲۶	۱۹۱,۴۴	۸۳,۰,۰۳	۲۱۶,۸۱	۱۶۲,۸۵	۲۴۱,۸۱	۱۵۷,۰۲		
Nb	۵,۹۴	۵,۹۸	۹,۶۹	۲۴,۰,۵۲	۳,۳۹	۷,۲۴	۱۴,۷	۱۳,۵۴	۱۶,۶۳	۲۳,۱۷	۱۹,۶	۲۲,۸۵		
Mo	۰,۴۶	۰,۲۶	۰,۴۶	۰,۸۸	۰,۳۴	۰,۷۳	۳,۶۳	۲,۲۸	۰,۹۷	۱,۴	۲,۴۹	۰,۸۵		
La	۱۲,۵۲	۱۰,۴۲	۱۷,۵۹	۱۵,۳۵	۵,۰,۱	۶,۳۶	۳۴,۴۹	۲۴,۷۷	۱۵,۹۶	۴۲,۸۹	۱۸,۸۶	۲۹,۹۵		
Ce	۳۴,۷۹	۲۷,۳۸	۳۸,۰,۵	۳۹,۰,۷	۱۱,۰,۵۶	۱۶,۰,۵۱	۷۷,۸۳	۵۳,۸۴	۳۶,۳۴	۸۹,۴۹	۴۷,۱۳	۶۸,۹۹		
Pr	۴,۹۹	۴,۰,۷	۴,۵۹	۴,۱۲	۱,۵۳	۲,۱۵	۸,۳۵	۵,۴۸	۴,۳	۱۰,۰,۳۶	۵,۰,۰	۶,۹۶		
Nd	۲۴,۵۴	۱۹,۹۲	۱۹,۷۳	۱۶,۶۷	۷,۱۲	۱۰,۰,۱۹۶	۳۱,۸۱	۱۹,۴۲	۱۶,۸۳	۳۸,۴۲	۲۱,۲۳	۲۵,۷		
Sm	۶,۴۲	۵,۱۳	۴,۶۲	۳,۷۴	۲,۱۴	۲,۷۲	۵,۶	۳,۰,۲	۳,۵۳	۶,۷۳	۴,۲۱	۴,۳۹		
Eu	۱,۸۵	۱,۴	۱,۳۸	۱,۱۵	۰,۸۷	۱,۰,۳	۱,۴۲	۰,۹۷	۰,۸۸	۱,۰,۶	۱,۰,۸	۱,۰,۷		
Gd	۶,۷۳	۵,۱۳	۴,۷۷	۴,۰,۱	۲,۸	۲,۹۸	۴,۰,۹	۲,۷۸	۳,۰,۶	۴,۶۸	۳,۶۱	۳,۰,۸		
Tb	۰,۹۲	۰,۷	۰,۷۳	۰,۶۴	۰,۴۹	۰,۴۹	۰,۵۶	۰,۴۱	۰,۴۲	۰,۶۱	۰,۴۸	۰,۴۱		
Dy	۴,۹	۳,۸۱	۴,۵۲	۳,۸	۳,۱۵	۲,۹۴	۲,۹۶	۲,۳	۲,۲۷	۳,۱۸	۲,۴۸	۲,۰,۳		
Ho	۰,۹	۰,۷	۰,۹۶	۰,۷۸	۰,۶۹	۰,۵۹	۰,۵۴	۰,۴۴	۰,۴۴	۰,۵۹	۰,۴۸	۰,۳۷		
Er	۲,۲۷	۱,۷۷	۲,۶۲	۲,۰,۸	۱,۹۸	۱,۵۷	۱,۳۷	۱,۲	۱,۱۷	۱,۴۶	۱,۲۷	۰,۹۵		
Yb	۱,۶۶	۱,۲۸	۲,۱۹	۱,۷	۱,۷۷	۱,۳۲	۱,۱۱	۱,۰,۸	۱,۰,۳	۱,۳۵	۱,۱۲	۰,۸۱		
Lu	۰,۲۲	۰,۱۸	۰,۳۱	۰,۲۲	۰,۲۴	۰,۱۷	۰,۱۵	۰,۱۵	۰,۱۵	۰,۱۸	۰,۱۵	۰,۱۱		
Hf	۲,۰,۷	۲,۲۳	۱,۷	۲,۱۱	۰,۸۷	۱,۴۷	۴,۴۹	۲,۱۳	۴,۴۷	۴,۷۳	۴,۷	۴,۳۸		
W	۱۹,۳۲	۱۶	۳۸,۲۷	۳۱,۳۳	۳۱,۹۸	۳۲,۲۹	۱۲۶,۳۳	۱۲۱,۶۲	۴۴,۶۹	۶۴,۲۱	۲۹,۷۹	۷۰,۷۳		
Th	۰,۵۹	۰,۷۵	۰,۶۷	۱,۲۶	۰,۵۴	۰,۵۱	۵,۷۴	۸,۱	۱,۳۳	۲,۱۲	۲,۳۳	۱,۰,۹		
U	۰,۵۴	۰,۵۷	۰,۴۲	۰,۸۹	۰,۲۳	۰,۴۳	۲,۶۲	۳,۰۴	۴,۲۳	۶,۸۱	۵,۰۴	۶,۰,۹		
Cu	۲۱,۹۵	۱۹,۰۷	۱۲,۰,۴	۱۸۹,۸۸	۱۵,۰,۴	۴۶,۳۱	۴۸,۹۳	۱۸,۷۶	۴۴,۷۳	۴۰,۰,۵۲	۷۹,۰,۹	۱۷۵,۱۳		
Zn	۹۵,۷۸	۸۲,۰,۹	۸۷,۸	۱۳۷,۵۱	۵۵,۹۵	۹,۰,۹۳	۱۳۸,۶۹	۶۲,۸۴	۸۹,۷۶	۵۰,۰,۸۴	۸۶,۲۹	۴۶,۴		
Ga	۱۵,۱	۱۲,۶۱	۱۶,۳۶	۱۶,۷	۱۲	۱۵,۶	۱۷,۰,۱	۱۸,۶	۱۷,۸	۱۸,۳۵	۱۸,۴۴	۱۶,۹۶		
Rb	۴۶,۲۴	۲۸,۱۵	۶,۰,۳	۳۱,۲۶	۳,۱۳	۱۷,۲۳	۳۷,۱	۶۷,۱۵	۱,۰,۳۲	۴۶,۴۶	۱۰,۰,۸	۳۸,۹۷		
Cs	۱۰,۴۶	۱۵,۷۱	۰,۷۲	۱,۶۱	۰,۱۷	۴,۲۳	۳,۹۷	۹,۰,۶	۴,۰,۸	۲,۱۶	۰,۵۷	۰,۶۲		
Ta	۰,۳۳	۰,۲۶	۰,۴۳	۱,۲۱	۰,۱۶	۰,۴۶	۰,۷۷	۰,۹۹	۰,۶۳	۰,۶۳	۰,۵۲	۱,۴۵		
Pb	۵,۲۶	۵,۱۵	۹,۶۶	۸,۲۳	۴,۷۲	۵,۶۳	۱۴۲,۱۷	۲۳,۹۲	۲۶	۱۵,۶	۵۷,۶۲	۱۵,۱۷		
Ba/Nb							۱۰,۳	۹۱	۵۳	۳۶	۴۵	۴۰		
Ba/Ta							۱۹۸۶	۱۲۴۵	۱۳۹۱	۵۱۲	۱۶۷۷	۶۲۷		

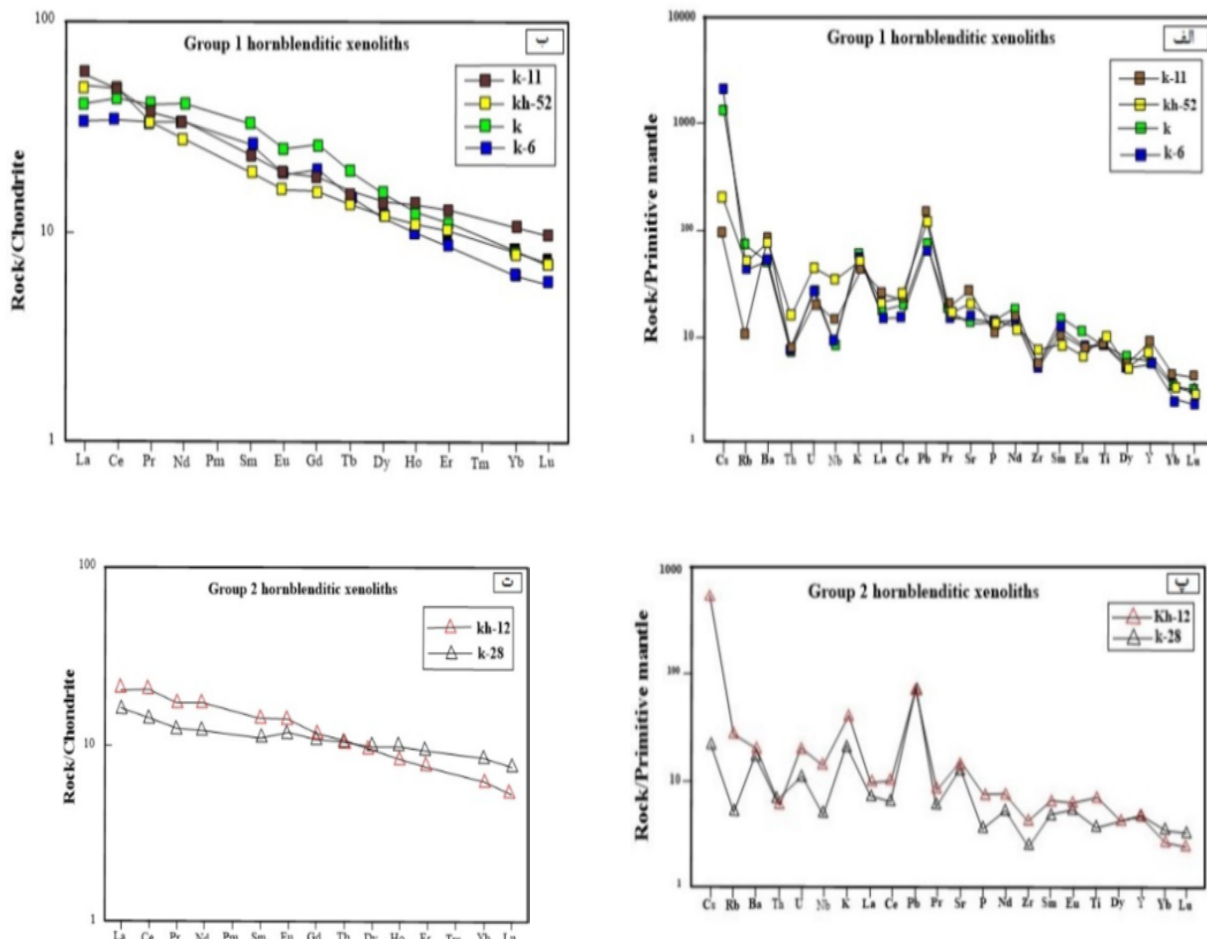
و دگرنهادی آنهاست. مقادیر عناصر سازگار نیکل و کروم در زینولیت‌های گروه ۱ همانند سنگ‌های آتشفشنای میزبان است. با توجه به مقادیر عناصر سازگار نیکل و کروم و شکل روند عناصر خاکی نادر (REE) و مشابهت ترکیب شیمیایی عناصر اصلی کانی‌های بیوتیت و آمفیبول، احتمال داده می‌شود که ترکیب مagmaی تشکیل دهنده سنگ‌های آتشفشنای میزبان و نمونه‌های گروه ۱ یکسان باشند. با در نظر گرفتن مشابههای گفته شده در بالا می‌توان نمونه‌های گروه ۱ را اتولیت در نظر گرفت. نمونه‌های گروه ۲ همانند گروه ۱ غنی‌شدگی در عناصر خاکی نادر سبک نسبت به عناصر خاکی نادر سنگین نشان می‌دهند (شکل ۷ ت). مقدار LREE در نمونه‌های گروه ۲ کمتر از گروه ۱ است (جدول ۴) و برخلاف نمونه‌های گروه ۱ بی‌هنجاری مثبت Eu نشان می‌دهند. این گروه نیز همانند گروه ۱ بی‌هنجاری منفی برای Th و Zr و بی‌هنجاری مثبت برای Ti, Nd, Sm, K, Ba, Ce, P در گروه ۲ کمتر از گروه ۱ است. مقادیر عناصر P, Ce, La در گروه ۲ کمتر از گروه ۱ است که با فراوانی کمتر کانی آپاتیت در نمونه‌های این گروه در ارتباط است. چنانکه در جدول ۴ دیده می‌شود، مقدار  $\text{TiO}_2$  در نمونه‌های گروه ۲ کمتر از گروه ۱ است و با توجه به اینکه عنصری کم تحرک است، در اثر دگرسانی از سنگ و کانی به راحتی خارج نمی‌شود و در نتیجه مقدار این عنصر در ترکیب خاستگاه magmaی این گروه کمتر از گروه ۱ است. چنانکه در مبحث شیمی کانی‌ها نیز بیان شد مقدار  $\text{TiO}_2$  در ترکیب آمفیبول‌های گروه ۲ کمتر از گروه ۱ است و این تاییدی دیگر بر کمتر بودن این عنصر در خاستگاه magmaهای این گروه است. علاوه بر Ti, مقدار عناصر ناسازگار دیگر از قبیل K, Ba, U در نمونه‌های گروه ۲ کمتر از نمونه‌های گروه ۱ است. با در نظر گرفتن مقادیر LREE و عناصر ناسازگار، به‌نظر می‌رسد که ترکیب خاستگاه magmaی نمونه‌های گروه ۲ با نمونه‌های گروه ۱ مشابه نیستند. براساس موارد گفته شده در بالا، احتمال داده می‌شود که خاستگاه magmaی تشکیل دهنده نمونه‌های گروه ۲ نیز گوشه دگرنهاده باشد، با این تفاوت که غنی‌شدگی خاستگاه این گروه کمتر از گروه ۱ است. به این ترتیب می‌توان نمونه‌های گروه ۲ را بعنوان زینولیت در نظر گرفت.

بررسی روند تغییرات میانگین عناصر کمیاب براساس نمودارهای عنکبوتی عادی نسبت به کندریت و گوشه اولیه در سنگ‌های آتشفشنای نشانگر غنی‌شدگی عناصر خاکی نادر سبک (LREE) و عناصر ناسازگار نسبت به عناصر خاکی نادر سنگین (HREE) است (شکل ۶ الف و ب). غنی‌شدگی از LILE و تهی‌شدگی از HREE در این الگو می‌تواند نشانگر وجود گارنت در مواد خاستگاه، نرخ کم ذوب و گریزندگی بالای  $\text{CO}_2/\text{H}_2\text{O}$  در محیط تشکیل magmaهای آتشفشنای باشد. بی‌هنجاری مثبت Pb و بی‌هنجاری‌های منفی Hf و Zr به آلایش پوسته‌ای اشاره دارند. بی‌هنجاری‌های منفی Ta و Nb مشابه سنگ‌های واسته به مناطق فرورانش کرانه فعال قاره‌ای است [۲۸, ۲۹]. مقادیر  $\text{Ba/Ta} > 450$  و  $\text{Ba/Nb} > 2$  نشان دهنده magmaتیسم در ارتباط با فرورانش است [۳۰]. نسبت  $\text{Ba/Nb}$  در سنگ‌های آتشفشنای از ۳۶ تا ۱۰۳ متغیر است. همچنین نسبت  $\text{Ba/Ta}$  در سنگ‌های آتشفشنای از ۵۱۱ تا ۱۹۶۵ تغییر می‌کند که نشانگر تاثیر اجزای فرورانشی در magmaهای سنگی منطقه است. بالا بودن فراوانی LREE و LILE بیانگر دگرنهاده شدن گوشه غنی شده است. بنابراین گوشه دگرنهاده می‌تواند به عنوان منبع سنگ‌های آتشفشنای مطرح شود. مقدار کروم در سنگ‌های حدوداً ۵ تا ۱۳۹ ppm است و مقدار نیکل در سنگ‌های حدوداً ۷ تا ۸۰ ppm است. کمتر بودن مقادیر عناصر سازگار کروم و نیکل در سنگ‌های آتشفشنای می‌تواند نشان دهنده خروج کانی‌های اليوین و کلینوپیروکسن از magmaهای اولیه باشد. فقدان کانی اليوین و فراوانی کمتر کانی کلینوپیروکسن به‌ویژه در سنگ‌های حدوداً ۷ به شاید دلیلی بر این مطلب باشد.

گروه ۱ غنی‌شدگی مشخصی در عناصر خاکی نادر سبک نسبت به عناصر خاکی نادر سنگین نشان می‌دهند و شکل روند مشابهی با سنگ‌های آتشفشنای منطقه دارند و همانند آنها بی‌هنجاری منفی Eu نشان می‌دهند (شکل ۷ ب). گروه ۱، بی‌هنجاری منفی برای Th و Zr و بی‌هنجاری مثبت برای Ba, K, Nd, Sm, Ce, P و نشان می‌دهند (شکل ۷ الف) که به تجمع کانی‌های بیوتیت، آمفیبول و کلینوپیروکسن واپسی است و مقادیر مختلف Ce, La با فراوانی متفاوت کانی آپاتیت در این نمونه‌ها در ارتباط است. غنی‌شدگی عناصر ناسازگار مانند Pb و LREE شواهد روشنی برای منشاء غنی‌شدگی



شکل ۶ الف- نمودار عنکبوتی سنگ‌های آتشفشاری میزان بهنجار شده با گوشه اولیه [۳۱]. ب- نمودار عناصر خاکی نادر سنگ‌های آتشفشاری بهنجار شده نسبت به کندریت‌ها. [۲۲]



شکل ۷ الف و پ- نمودارهای عنکبوتی اتلولیت‌ها و زینولیت‌های هورنبلندیتی بهنجار شده با گوشه اولیه. ب و ت- نمودار عناصر خاکی نادر اتلولیت‌ها و زینولیت‌های هورنبلندیتی بهنجار شده نسبت به کندریت‌ها.

داده است که سنگ‌های آتشفشاری مورد بررسی از لحاظ سنی مربوط به پلیو-کواترنریاند. بیشتر اتلولیت‌ها و زینولیت‌های هورنبلندیتی مشاهده شده در این مجموعه در بخش فوران‌های

برداشت سنگ‌های آتشفشاری قلیایی در شمالی‌ترین بخش منطقه آتشفشاری ارومیه-دختر قرار دارند. بررسی‌های صحرائی نشان

دانشگاه تبریز به انجام رسیده است که به این وسیله از همکاری ارزنده آن معاونت قدردانی می‌شود. نگارندگان از آزمایشگاه تولوز فرانسه برای انجام بررسی‌های نقطه‌ای کانی‌ها و بررسی کلی سنگ نهایت سپاس و امتنان را دارند.

#### مراجع

- [1] Capedri S., Venturelli G., Salvioli M.E., Crawford A.J., Barbieri M., "Upper-mantle xenoliths and megacrysts in an alkali basalt from Tallante, south-eastern Spain", European journal of Mineralogy 1 (1989) 685-699.
- [2] Downes H., Upton B.G.I., Handisyde E., Thirlwall M.F., "Geochemistry of mafic and ultramafic xenoliths from Fidra (Southern Uplands, Scotland): implications for lithospheric processes in Permo-Carboniferous times", Lithos 58 (2001) 105-124.
- [3] Downes H., Kostoula T., Iones P., Beard D., Thirlwall F., Bodinier L.L., "Geochemistry and Sr-Nd isotopic compositions of mantle xenoliths from the Monte Vulture carbonatite melilitite volcano, central southern Italy", Contrib. Mineral. PetroL 144 (2002) 78-93.
- [4] Carraro A., Visona D., "Mantle xenoliths in Triassic camptonite dykes of the Predazzo area (Dolomites, northern Italy); petrography, mineral chemistry and geothermobarometry", European journal of Mineralogy 15 (2003) 103-115.
- [5] Orejana D., Villaseca C., Paterson B.A., "Geochemistry of Pyroxenitic and hornblenditic xenoliths in alkaline lamprophyres from the Spanish central system", lithos 86 (2006) 167-196.
- [6] Witt-Eickschen G., Kramm U., "Evidence for the multiple stage evolution of the subcontinental lithospheric mantle beneath the Eifel (Germany) from pyroxenite and composite pyroxenite peridotite xenoliths", Contrib. Mineral. Petrol. 131 (1998) 258-272.
- [7] Capedri S., Venturelli G., Salvioli M.E., Crawford A.J., Barbieri M., "Upper-mantle xenoliths and megacrysts in an alkali basalt from Tallante, south-eastern Spain", European journal of Mineralogy 1 (1989) 685-699.
- [8] Frey F.A., Prinz M., "Ultramafic inclusions from San Carlos, Arizona; petrologic and geochemical data bearing on their petrogenesis", Earth Planet. Sci. Lett. 38 (1978) 129-176.
- [9] Irving A.I., "Petrology and geochemistry of composite ultramafic xenoliths in alkalic basalts and implications for magmatic processes within the mantle", Am. J. Sci. 280A (1980) 389-426.
- [10] خضرلو ع.، امینی ص.، موید م.، "پترولوجی، ژئوشیمی و شیمی کانی‌های سنگ‌های پتاسیک و التراتپتاسیک شمال غرب

تراکی آندزیتی و تراکی آندزیت بازالتی قرار دارند. سنگ‌های آتشفسانی میزبان بافت ریزبلوری پورفیری و پورفیری نشان می‌دهند و دارای فنوکریسته‌های کلینوپپروکسن، پلازیوکلاز، میکا و آمفیبیول هستند. بررسی ترکیب شیمیابی کانی‌ها نشان می‌دهد که در سنگ‌های آتشفسانی ترکیب میکاها، بیوتیت و ترکیب آمفیبیول‌ها، منیزیو-هاستنزنیت است. پلازیوکلازهای سنگ‌های آتشفسانی ترکیب آندزین تا لابرادوریت دارند و فلدسپات پتاسیم‌دار آنها ترکیب سانیدین دارد. بالا بودن فراوانی LREE و LILE در سنگ‌های آتشفسانی بیانگر گوشه‌ته دگرنهاده و غنی شده است. اتولیت‌ها و زینولیت‌های هورنبلنديتی دارای کانی‌های آمفیبیول، بیوتیت و پلازیوکلاز هستند. مقادیر کمتر  $\text{Al}^{VI}$  میکاها و بافت انباشتی حاکی از خاستگاه ماغمایی اتولیت‌ها و زینولیت‌ها است. ترکیب کانی‌های میکا، آمفیبیول و پلازیوکلاز در نمونه‌های گروه ۱ همانند سنگ‌های آتشفسانی میزبان به ترتیب بیوتیت، منیزیو-هاستنگریت و آندزین تا لابرادوریت است. ترکیب کانی‌های آمفیبیول و پلازیوکلاز در نمونه‌های گروه ۲ به ترتیب پارگازیت و لابرادوریت است. عمق تبلور کانی‌های آمفیبیول در نمونه‌های گروه ۱ و ۲ به ترتیب ۱۱ تا ۱۶ و ۲۰ تا ۲۵ کیلومتری پوسته محاسبه شده است. شکل روند REE در نمونه‌های گروه ۱ (اتولیت‌ها) مشابه با سنگ‌های آتشفسانی است و همانند آنها غنی‌شدگی مشخصی در عناصر خاکی نادر سبک نسبت به عناصر خاکی نادر سنگین نشان می‌دهد و این بیانگر آن است که خاستگاه این گروه، همانند سنگ‌های آتشفسانی میزبان گوشه‌ته دگرنهاده و غنی شده است و با در نظر گرفتن مقادیر عناصر سازگار نیکل و کروم و مشابهت عناصر اصلی کانی‌های بیوتیت و آمفیبیول، احتمال داده می‌شود که ترکیب ماغمای تشکیل دهنده آنها یکسان باشند. ترکیب شیمیابی عناصر اصلی کانی‌های گروه ۲ (زینولیت‌های هورنبلنديتی) با گروه ۱ و سنگ‌های آتشفسانی میزبان متفاوت هستند و با در نظر گرفتن مقادیر عناصر سازگار نیکل و کروم، شکل روند و مقدار REE و بی‌هنجاری Eu، به نظر می‌رسد که خاستگاه ماغمای این گروه با سنگ‌های آتشفسانی یکسان نیستند. با توجه به مقادیر عناصر ناسازگار و LREE احتمال داده می‌شود، که غنی‌شدگی خاستگاه ماغمای گروه ۲ کمتر از گروه ۱ و سنگ‌های آتشفسانی میزبان باشد.

#### قدراتی

این پژوهش بخشی از کار پایان‌نامه دکتری نویسنده اول است که با حمایت معاونت پژوهشی و معاونت تحصیلات تكمیلی

- amphiboles of the International Mineralogical Association, Commission on New Minerals and Mineral Names", Can Mineral 35 (1997) 219-246.*
- [21] Coogan L. A., Wilson R. N., Gillis K. M., MacLeod C. J., "Near solidus evolution of oceanic gabbros: insights from amphibole geochemistry", *Geochim Cosmochim Acta 65 (2001) 4339-4357.*
- [22] Deer W.A., Howie R.A., Zussman J., "An introduction to the Rock forming minerals", Longman, London (1991) 1-528.
- [23] Harker B. R., "Igneous, sedimentary and metamorphic petrology", John Wiley and sons (1997) 529pp.
- [24] Vynhal C.R., McSween H.Y., Jr., "Hornblende chemistry in southern Appalachian granitoids Implications for aluminum hornblende thermobarometry and magmatic epidote stability", *Am. Mineral. 76 (1991) 176-188.*
- [25] Dehghani G.A., Makris T., "The gravity field and crustal structure of Iran", *Neues Jahrbuch fur Geologie und Palaontologie-Abhandlungen 168 (2-3) (1984) 215-229.*
- [26] Peccerillo A., Taylor S.R., "Geochemistry of Eocene calc-alkaline volcanic rocks in the Kastamonu area, Northern Turkey", *Contrib. Mineral. Petrol. 58 (1976) 63-81.*
- [27] Le Bas M.J., Le Maître R.W., Streckeisen A., Zanettin B., "A chemical classification of volcanic rocks based on the total alkali-silica diagram", *J. Petrol. 27 (1986) 745-750.*
- [28] Gertisser R., Keller J., "From basalt to dacite: Origin and evolution of the calc alkaline series of Salina, Aeolian Arc, Italy", *Contribution to Mineralogy and Petrology 139 (2000) 607-626.*
- [29] Rudnick R. L., Gao S., "Composition of the continental crust. In: Rudnick, R.L. (Ed.) *The Crust. In: H. D. Holland and K. K. Turekian (Eds.): Treatise on Geochemistry*", Elsevier/Pergamon, Oxford 3 (2003) 1-64.
- [30] Fitton J.G., James D., Leeman W.P., "Basic magmatism associated with Late Cenozoic extension in the Western United States: compositional variations in space and time", *Journal of Geophysical Research 96 (B8) (1991) 13693-13711.*
- [31] Sun S.S., McDonough W.F., "Chemical and isotopic systematics of oceanic basalts: Implications for mantle composition and processes. In: Saunders, A.D., Norry, M.J. (Eds.), *Magmatism in the Oceanic Basalts*", Geological Society Special Publication 42 (1989) 313-345.
- [32] Boynton W.V., "Geochemistry of the rare earth elements: meteorite studies. In: Henderson, P. (Ed.), *Rare Earth Element Geochemistry*", Elsevier, New York 16 (1984) 63-114.
- مرند", مجله علمی دانشگاه خوارزمی، شماره ۳ (۱۳۸۷) ص ۲۰۴-۱۸۳
- [11] Ahmadzadeh G., Jahangiri A., Lentz D., Mojtabeh, M., "Petrogenesis of Plio-Quaternary post-collisional ultrapotassic volcanism in NW of Marand, NW Iran", *Journal of Asian Earth Sciences 39 (2010) 37-50.*
- [12] Jahangiri A., "Post-collisional Miocene adakitic volcanism in NW Iran: geochemical and geodynamic implications", *Journal of Asian Earth Sciences 30 (2007) 433-447.*
- [۱۳] مژدن م، موید م، حسین زاده ق، "پتروگرافی و هفتمنی همایش انجمن زمین شناسی ایران، دانشگاه اصفهان، (۱۳۸۲).
- [14] Aghazadeh M., Prelević D., Badrzadeh Z., Braschi E., Bogaard P., Conticelli S., "Geochemistry Sr-Nd-Pb isotopes and geochronology of amphibole and mica-bearing lamprophyres in northwestern Iran: implications for mantle wedge heterogeneity in a paleo-subduction zone", *Lithos 216-217 (2015) 352-369.*
- [۱۵] نقشه‌های زمین شناسی ۱:۱۰۰۰۰ مرند، جلفا، تسوج و قره ضیاءالدین.. انتشارات سازمان زمین شناسی کشور (۱۳۷۶).
- [16] Pang K.N., Chung S.L., Zarrinkoub M.H., Lin Y.C., Lee H.Y., Lo C.H., Khatib M.M., "Iranian ultrapotassic volcanism at ~11 Ma signifies the initiation of postcollisional magmatism in the Arabia-Eurasia collision zone", *Terra Nova 25 (2013) 405-413.*
- [17] Speer J.A., "Mica in igneous rocks", In: Micas, Bailey, S. W. Mineralogy Society of American, Review in Mineralogy 13 (1984) 299-356.
- [18] Nachit H., Ibhi A., Abia E.H., Ohoud M.B., "discrimination between primary magmatic biotites, reequilibrated biotites and neoformed biotites", *Geomaterials (Mineralogy), Comptes Rendus, Geosciences*
- [19] Hawthorne F. C., Oberti R., Harlow G. E., Maresch W. V., Martin R. F., Schumacher J. C., Welch M. D., "Nomenclature of the amphibole super group", *American Mineralogist 97 (2012) 2031-2048.*
- [20] Leake B.E., Woolley A.R., Arps C.E.S., Birch W.D., Gilbert M.C., Grice J.D., Hawthorne F.C., Kato A., Kisch H.J., Krivovichev V.G., Linthout K., Laird J., Mandarino J.A., Maresch W.V., Nickel. E.H., Rock N.M.S., Schumacher J.C., Smith D.C., Stephenson N.C.N., Ungaretti L., Whittaker E.J.W., Guo Y., "Nomenclature of amphiboles: Report of the subcommittee on